

# Chapter 4a

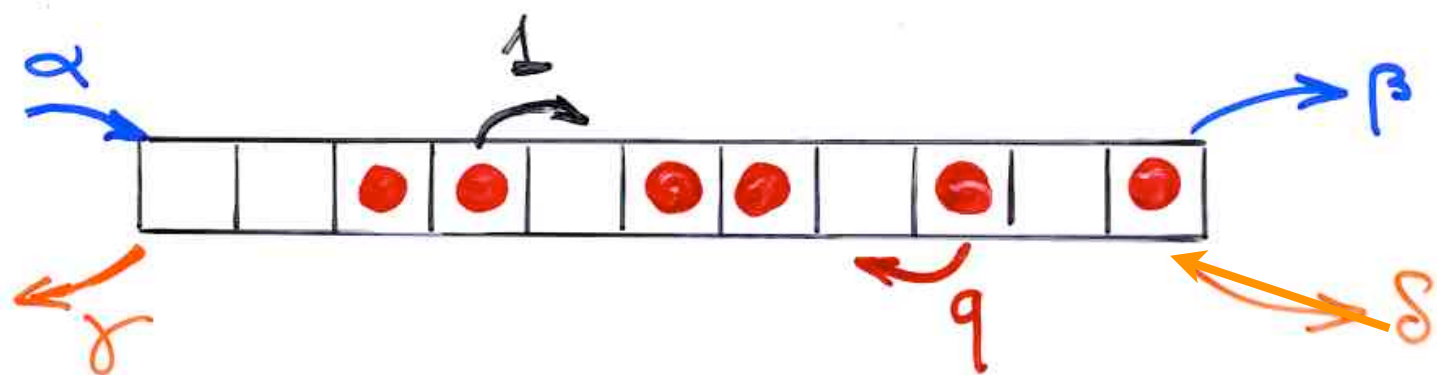
## Alternative tableaux and the PASEP

(Partially ASymmetric Exclusion Process)

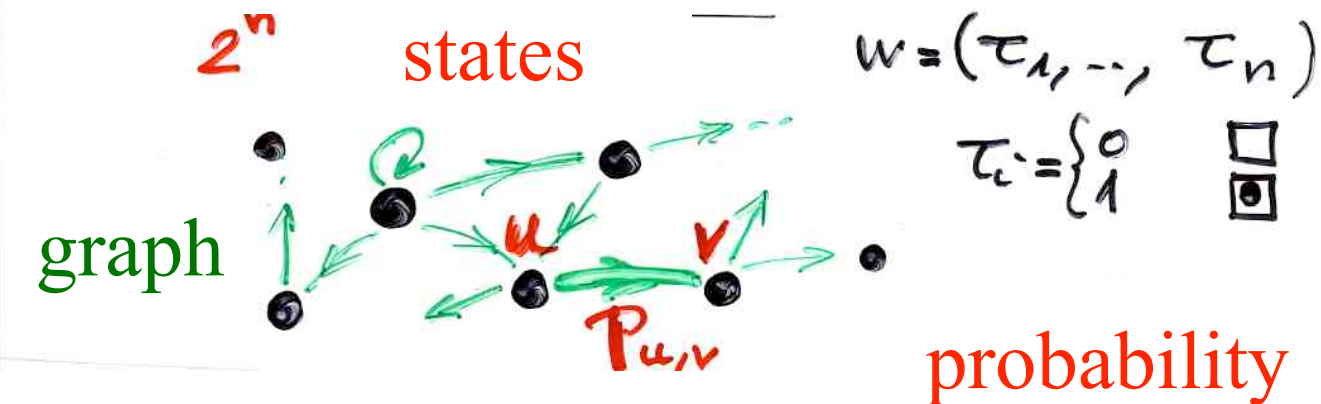
13 january 2011  
Talca

The PASEP

**ASEP**  
**TASEP**  
**PASEP**



# Markov chains



$$M = \left( P_{u,v} \right)_{u,v \in S}$$

states

## probabilities matrix (stochastic)

$$\overline{\pi} = (\pi_u, \dots)$$

vector (time t)

π · M

vector (time t+1)



$$P_v^{(t+1)} = \sum_u P_u^{(t)} P_{u,v}$$

stationary probabilities

$$\pi \cdot M = \pi$$

unicity

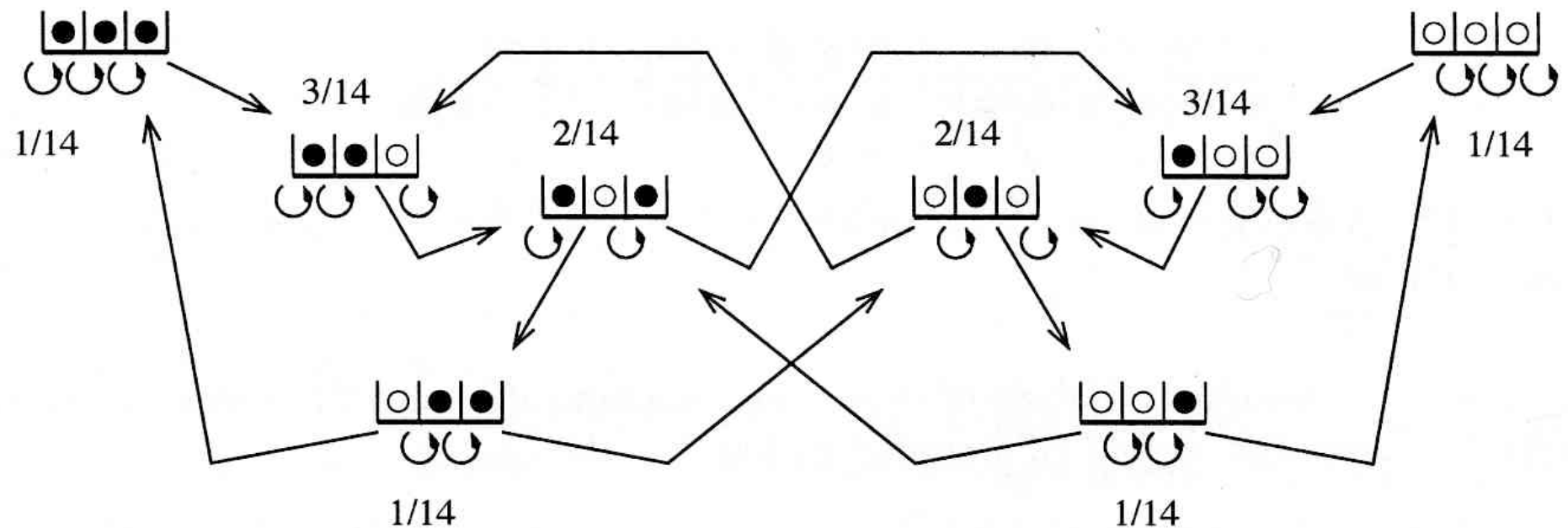
eigenvector

$M^T$  eigenvalue 1

time  $\rightarrow \infty$



$$P_v = \sum_u P_u P_{u,v}$$



non-equilibrium

statistical  
mechanics

.. relaxation → stationary state

states

$$\tau = (\tau_1, \tau_2, \dots, \tau_n)$$

$$\tau_i = \begin{cases} 1 & \text{site } i \text{ occupied} \\ 0 & \text{site } i \text{ empty} \end{cases}$$

unique  
stationary  
state

$$\frac{d}{dt} P_n(\tau_1, \dots, \tau_n) = 0$$

Derrida, Evans, Hakim, Pasquier (1993)

## boundary induced phase transitions

molecular diffusion

linear array of enzymes

biopolymers

traffic flow

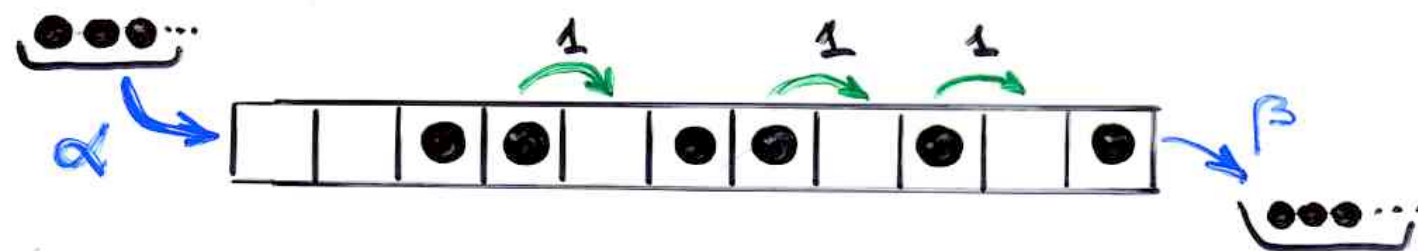
-----

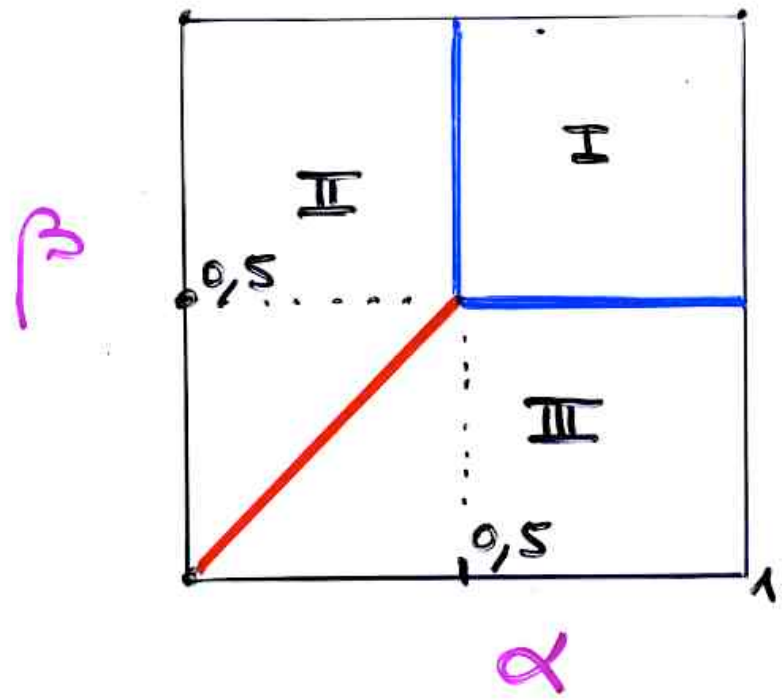
formation of shocks

---

# TASEP

"totally asymmetric exclusion process"





$n \rightarrow \infty$

$\rho = \langle \tau_i \rangle =$  *taux moyen d'occupation*  
*à loin des bords*

- |       |                    |
|-------|--------------------|
| (I)   | $\rho = 1/2$       |
| (II)  | $\rho = \alpha$    |
| (III) | $\rho = 1 - \beta$ |

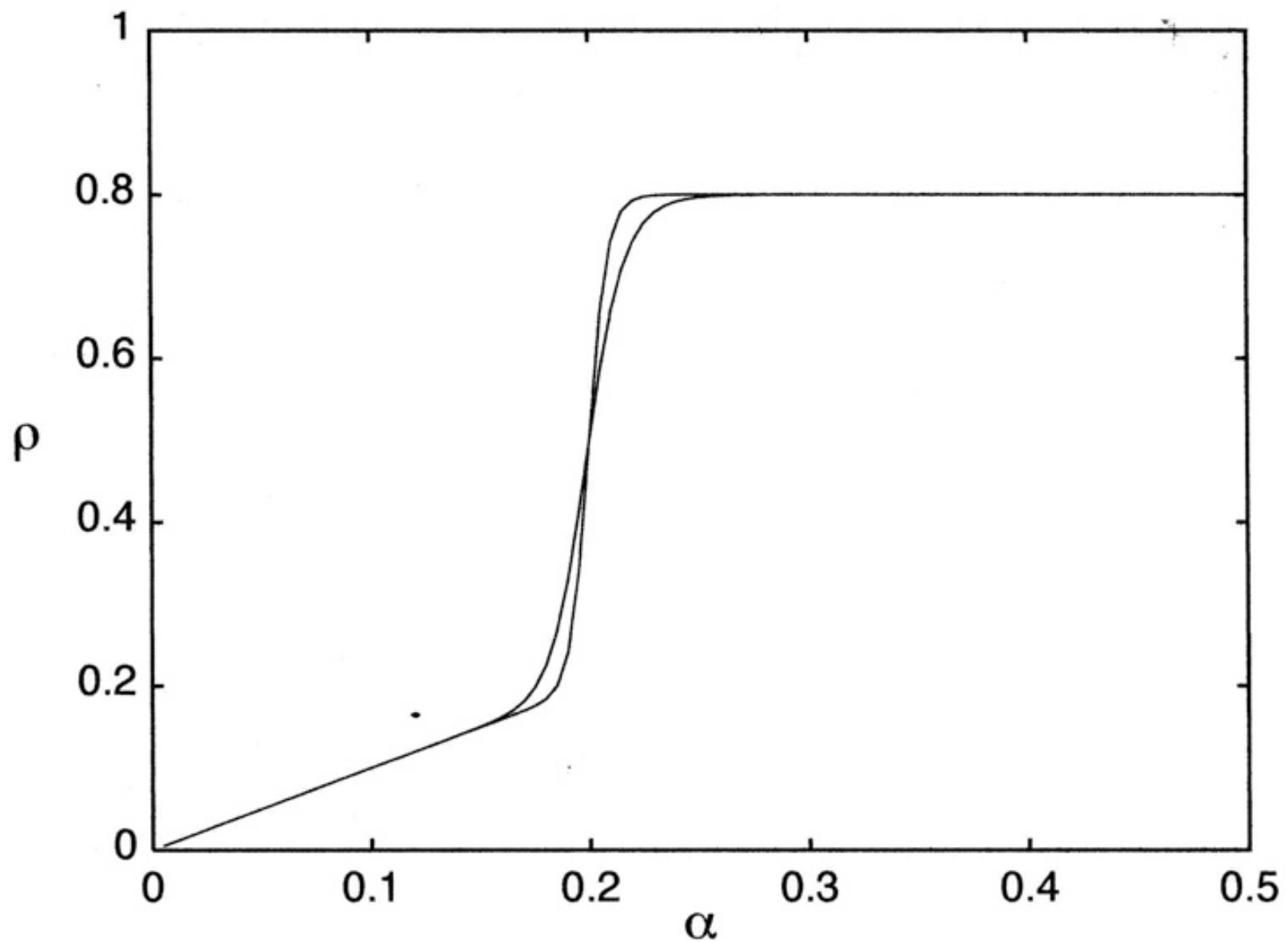
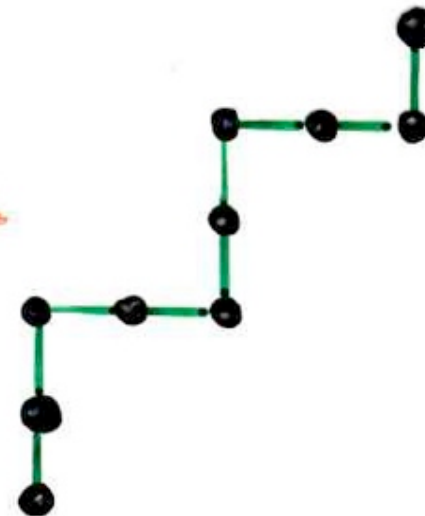
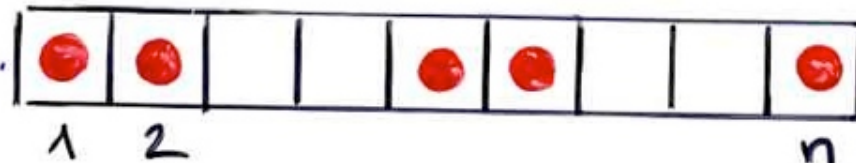


Figure 2: The average occupation  $\rho = \langle \tau_{(N+1)/2} \rangle$  of the central site versus  $\alpha$  for  $N = 61$  and  $N = 121$  when  $\beta = .2$ .

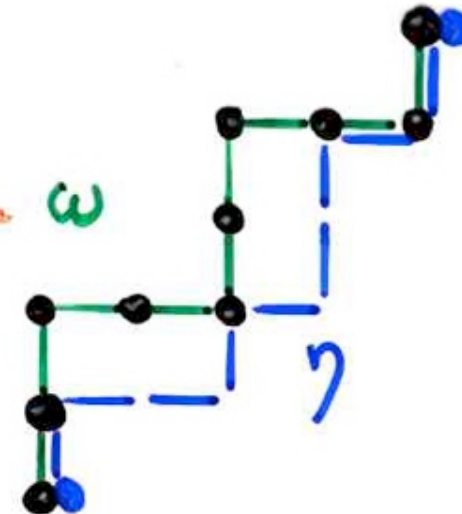
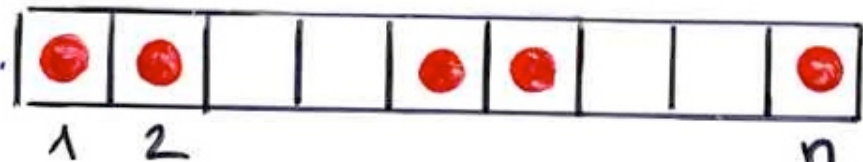
state  $s = (\tau_1, \dots, \tau_n)$



$$P_n(s) =$$

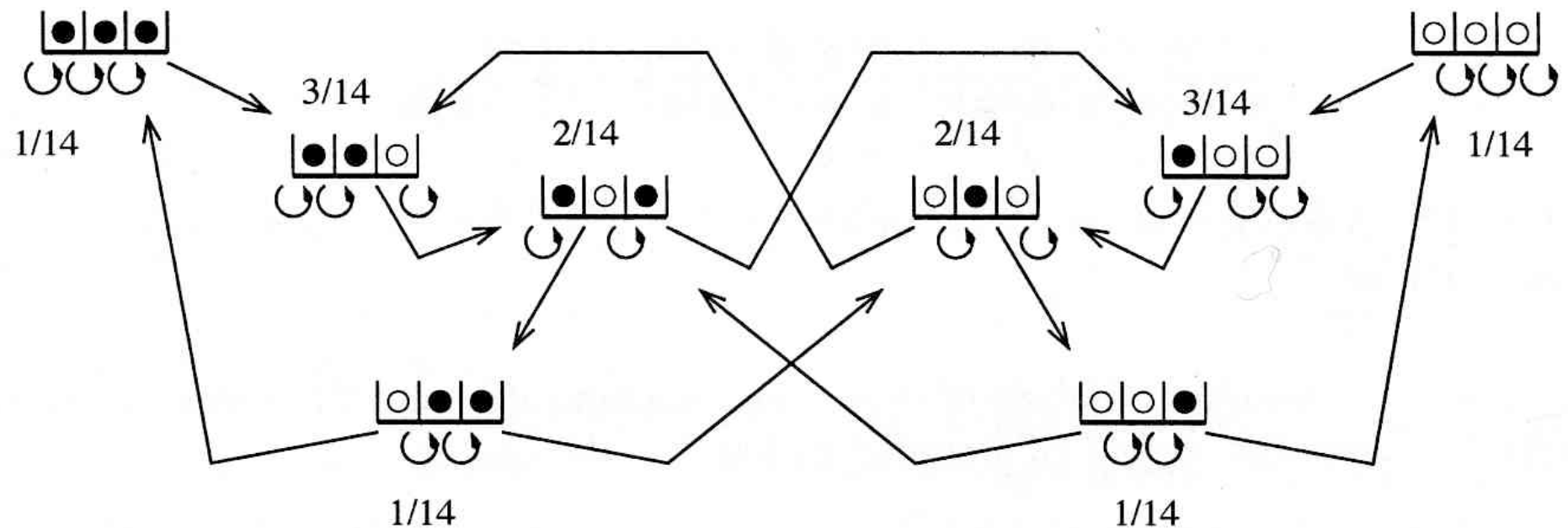
Shapiro, Zeilberger, 1982

state  $\omega = (\tau_1, \dots, \tau_n)$

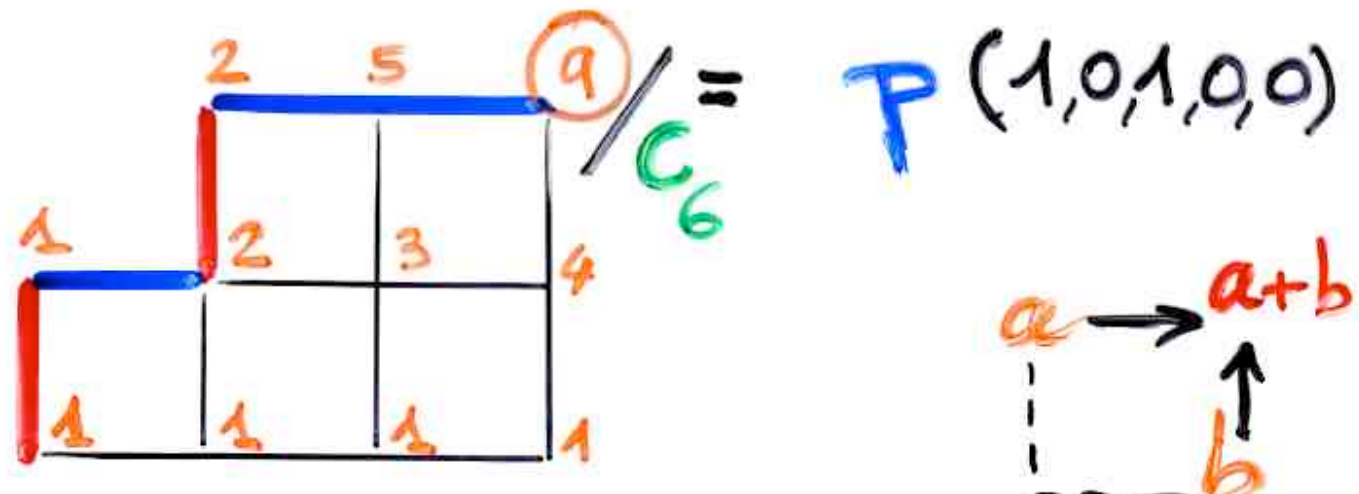


$$P_n(\omega) = \frac{1}{C_{n+1}} \left( \text{number of paths } \gamma \text{ below the path associated to } \omega \right)$$

Shapiro, Zeilberger, 1982



$$\Delta = (1, 0, 1, 0, 0) \quad \lambda = (1, 2, 2)$$



# Combinatorics of the PASEP

## TASEP

Brak, Essam (2003), Duchi, Schaeffer, (2004),  
Angel (2005), xgv, (2007)

## (P) ASEP

Brak, Corteel, Essam, Parviainen, Rechnitzer (2006)  
Corteel, Williams (2006) (2008) (2009) xgv, (2008)  
Corteel, Stanton, Stanley, Williams (2010)

Derrida, ...

Mallick, .... Golinelli, Mallick (2006)


 Orthogonal polynomials  
 Sasamoto (1999)  
 Blythe, Evans, Colaiori, Eosler (2000)

$\alpha, \beta, q$        $\gamma = \delta = 1$   
 q-Hermite polynomial

$$D = \frac{1}{1-q} + \frac{1}{\sqrt{1-q}} \hat{a}$$

$$E = \frac{1}{1-q} + \frac{1}{\sqrt{1-q}} \hat{a}^+$$

$$\hat{a} \hat{a}^+ - q \hat{a}^+ \hat{a} = 1$$


 Uchiyama, Sasamoto, Wadati (2003)  
 $\alpha, \beta, \gamma, \delta, q$

Askey-Wilson polynomials

# The Matrix Ansatz

Derrida, Evans, Hakim, Pasquier

$$P_n(\tau_1, \dots, \tau_n) = f_n(\tau_1, \dots, \tau_n) / Z_n$$

$$Z_n = \sum_{\tau} f_n(\tau_1, \dots, \tau_n)$$

partition  
function

Derrida, Evans, Hakim, Pasquier (1993)

"matrix ansatz"

$D$   $E$  matrices,

$V$  column vector,  $W$  row vector

$$\left\{ \begin{array}{l} DE = qED + D + E \\ (\beta D - \gamma E)|V\rangle = |V\rangle \\ \langle W|(\alpha E - \gamma D) = \langle W| \end{array} \right.$$

Then

$$f_n(\tau_1, \dots, \tau_n)$$

Derrida, Evans, Hakim, Pasquier (1993)

"matrix ansatz"

$D$   $E$  matrices,

✓ column vector,

$W$

row vector

$q=0$

TASEP

$$\left\{ \begin{array}{l} DE = \boxed{\quad} + D + E \\ (\beta D - \boxed{\quad}) |V\rangle = |V\rangle \\ \langle W| (\alpha E - \boxed{\quad}) = \langle W| \end{array} \right.$$

Then

$$f_n(\tau_1, \dots, \tau_n) = \langle W \prod_{i=1}^n (\tau_i D + (1-\tau_i) E) | V \rangle$$

examples:

TASEP

$$\left\{ \begin{array}{l} DE = D + E \\ D|V\rangle = \beta |V\rangle \\ \langle W|E = \alpha \langle W| \end{array} \right.$$

examples:

TASEP

$$D = \begin{bmatrix} 0 & \bar{\beta} & 0 & \cdots \\ \bar{\beta} & 0 & -1 & \cdots \\ 0 & -1 & 0 & \cdots \\ \vdots & \vdots & \vdots & \ddots \end{bmatrix}$$

(infinite matrices)

$$E = \begin{bmatrix} \bar{\alpha}^1 & 0 & 0 & \cdots \\ \bar{\alpha}^2 & \bar{\beta} & 0 & \cdots \\ \bar{\alpha}^3 & \bar{\beta}^2 & \bar{\beta} & \cdots \\ \vdots & \vdots & \vdots & \ddots \end{bmatrix}$$

$$\bar{\beta} = \frac{1}{\beta}, \quad \bar{\alpha} = \frac{1}{\alpha}$$

$$\langle w | = (1, 0, -1, -)^\top$$

$$| v \rangle = (1, 1, -1, -)^\top$$

$$D = \begin{bmatrix} 0 & 1 & 0 & \cdots \\ 1 & 0 & -1 & \cdots \\ 0 & -1 & 0 & \cdots \\ \vdots & \vdots & \vdots & \ddots \end{bmatrix}$$

(infinite matrices)

$$E = \begin{bmatrix} \bar{\beta} & 1 & 0 & \cdots \\ \bar{\beta} & 0 & 1 & \cdots \\ \vdots & \vdots & \vdots & \ddots \end{bmatrix}$$

$$\langle w | = (1, 0, \dots)^\top$$

$$| v \rangle = (1, \bar{\alpha}, \bar{\alpha}^2, \dots)^\top$$

examples:

TASEP

$$D = \begin{bmatrix} \bar{\beta} & \kappa & & \\ & 1 & & \\ & & 1 & \\ & & & 1 \end{bmatrix} \quad E = \begin{bmatrix} \bar{\alpha} & \bar{\beta} & & \\ & 1 & & \\ & & 1 & \\ & & & 1 \end{bmatrix}$$

(infinite matrices)

$$\langle w | = (1, 0, \dots) \quad | v \rangle = (1, 0, \dots)$$

$$\bar{\alpha} = \frac{1}{\alpha}$$

$$\bar{\beta} = \frac{1}{\beta}$$

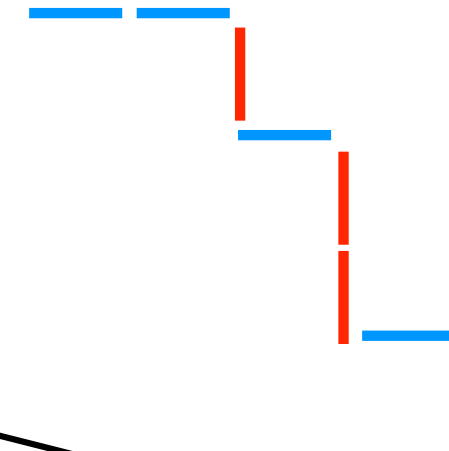
$$\kappa^2 = \bar{\alpha} + \bar{\beta} - \bar{\alpha}\bar{\beta}$$

The PASEP algebra

$$DE = qED + E + D$$

D D E D E E D E

D D E (D E) E D E

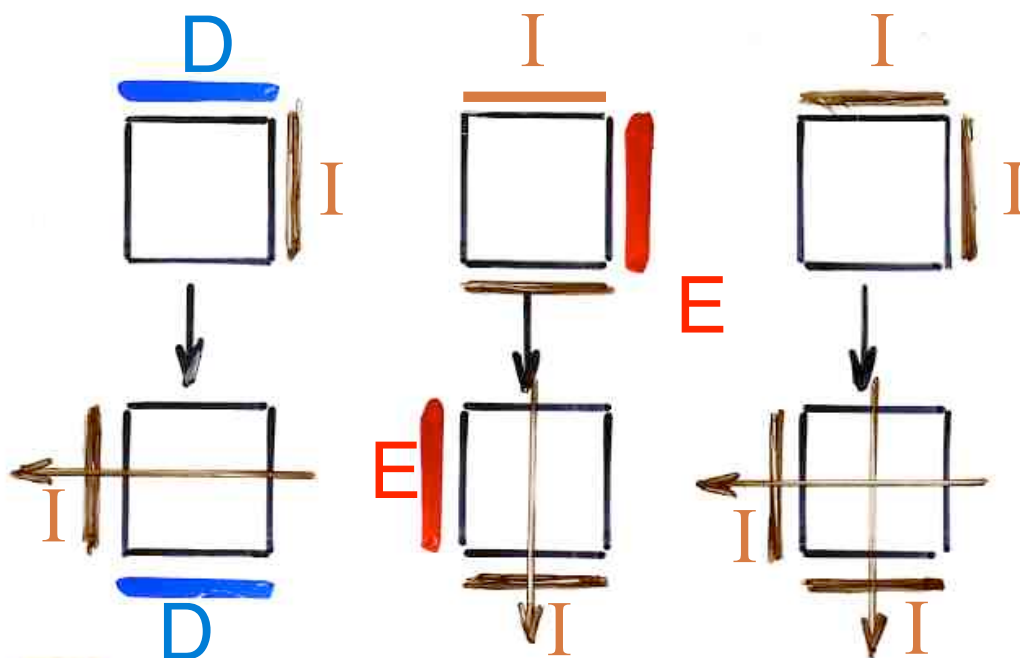


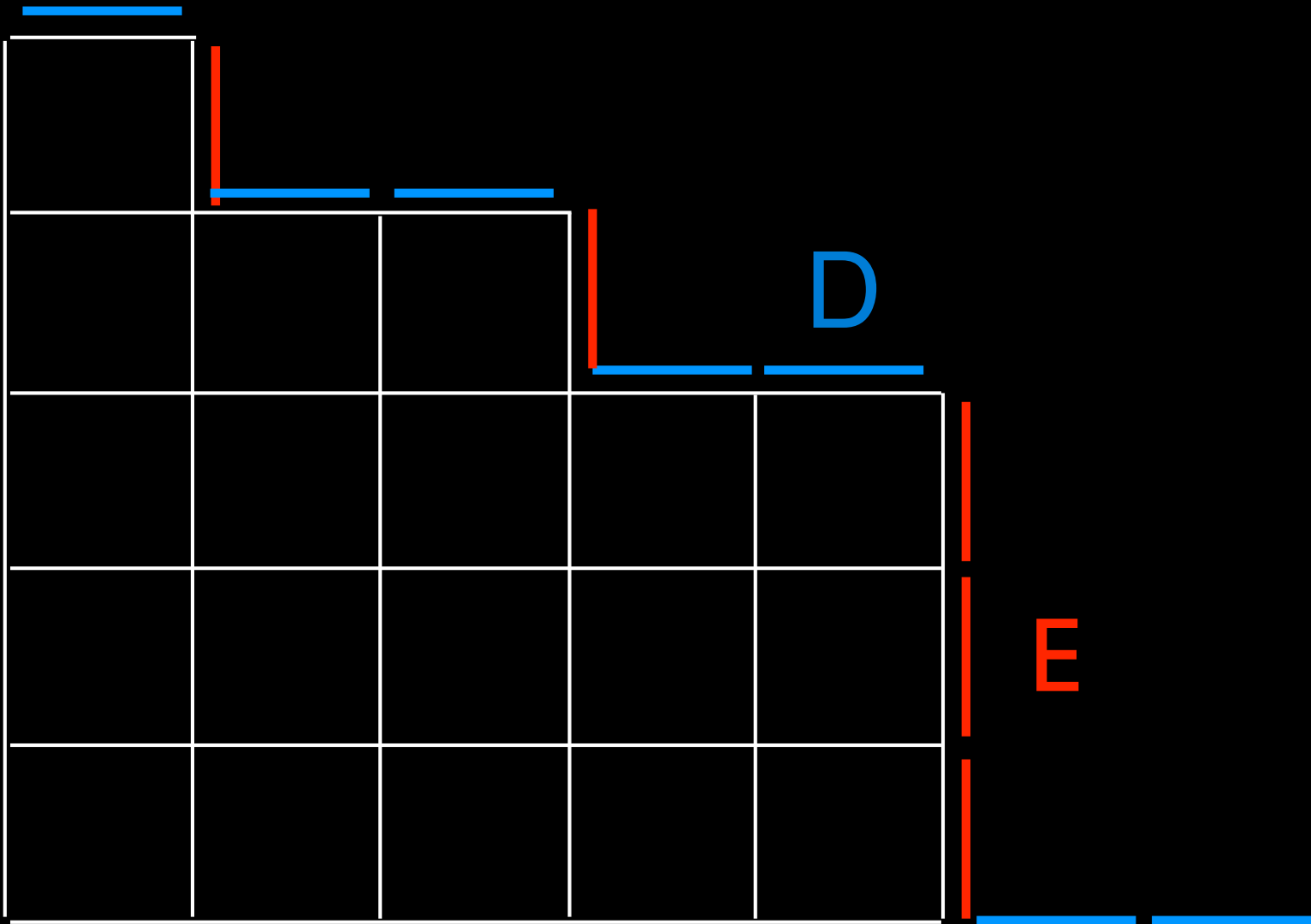
DDE(E)EDE + DDE(ED)EDE + DDE(D)EDE

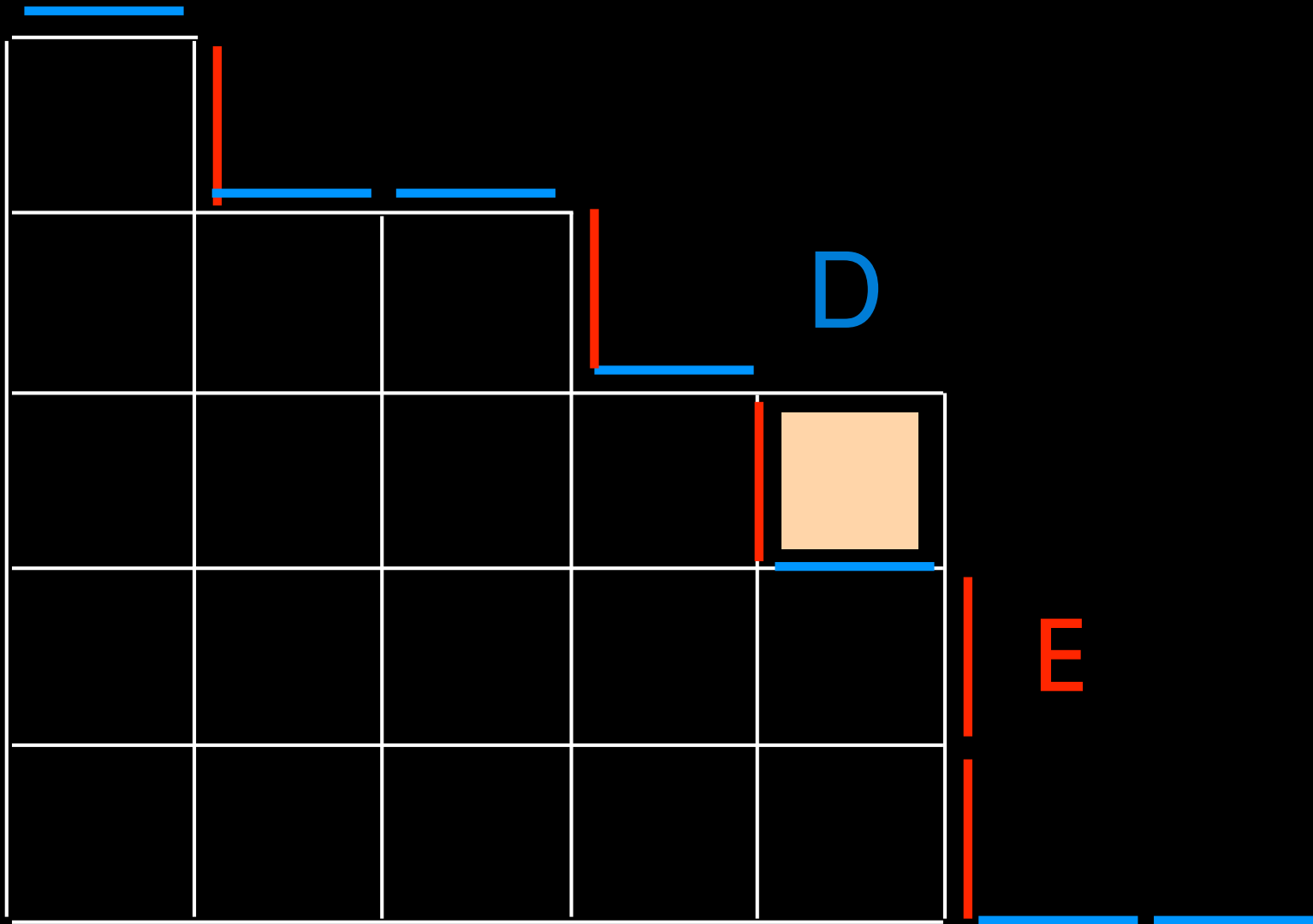
Proof: "planarization" of the rewriting rules

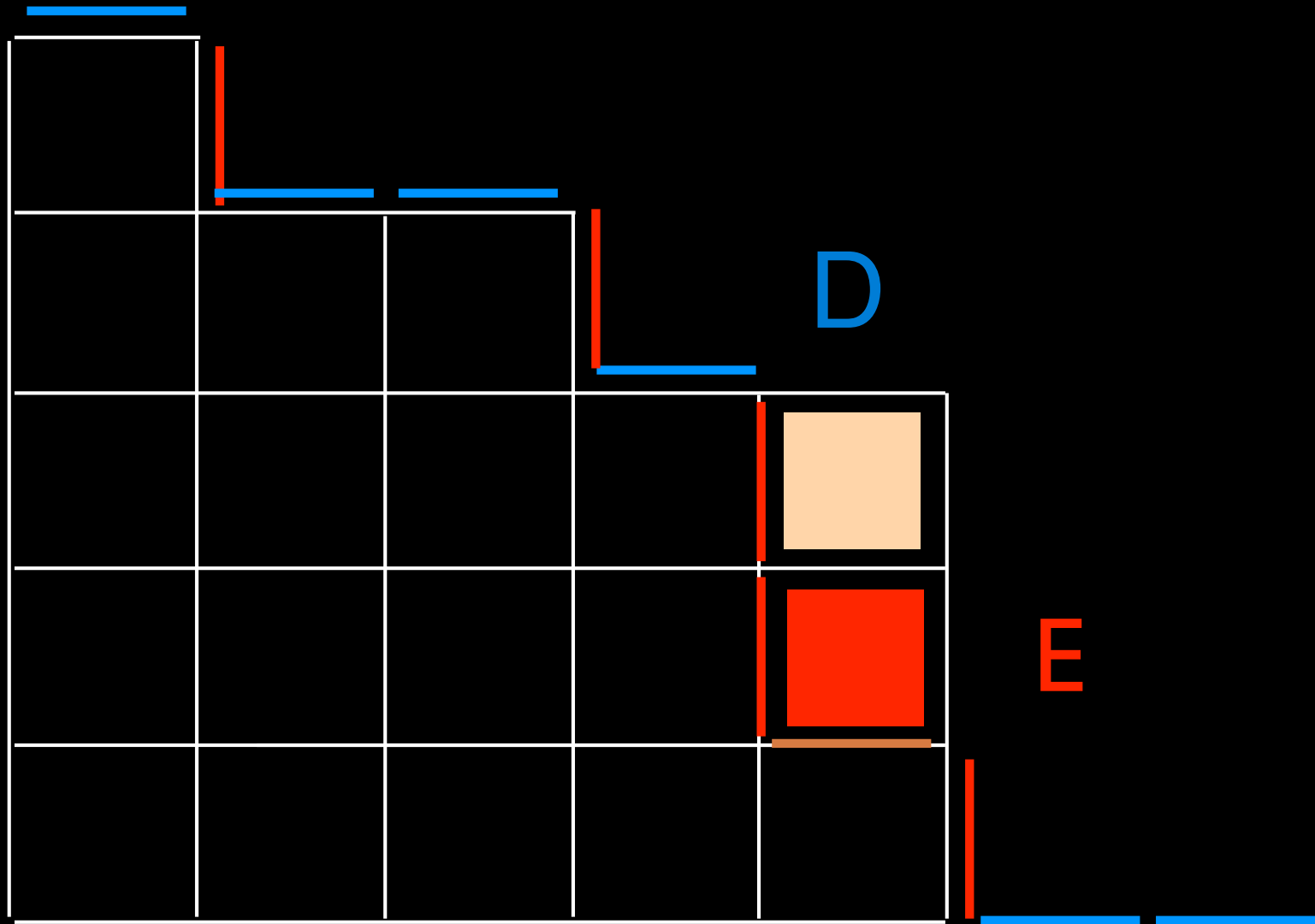
$$\boxed{D} \mid E \rightarrow q \boxed{E} \mid \boxed{\cancel{X}} + E \mid \boxed{I} + I \mid \boxed{D}$$

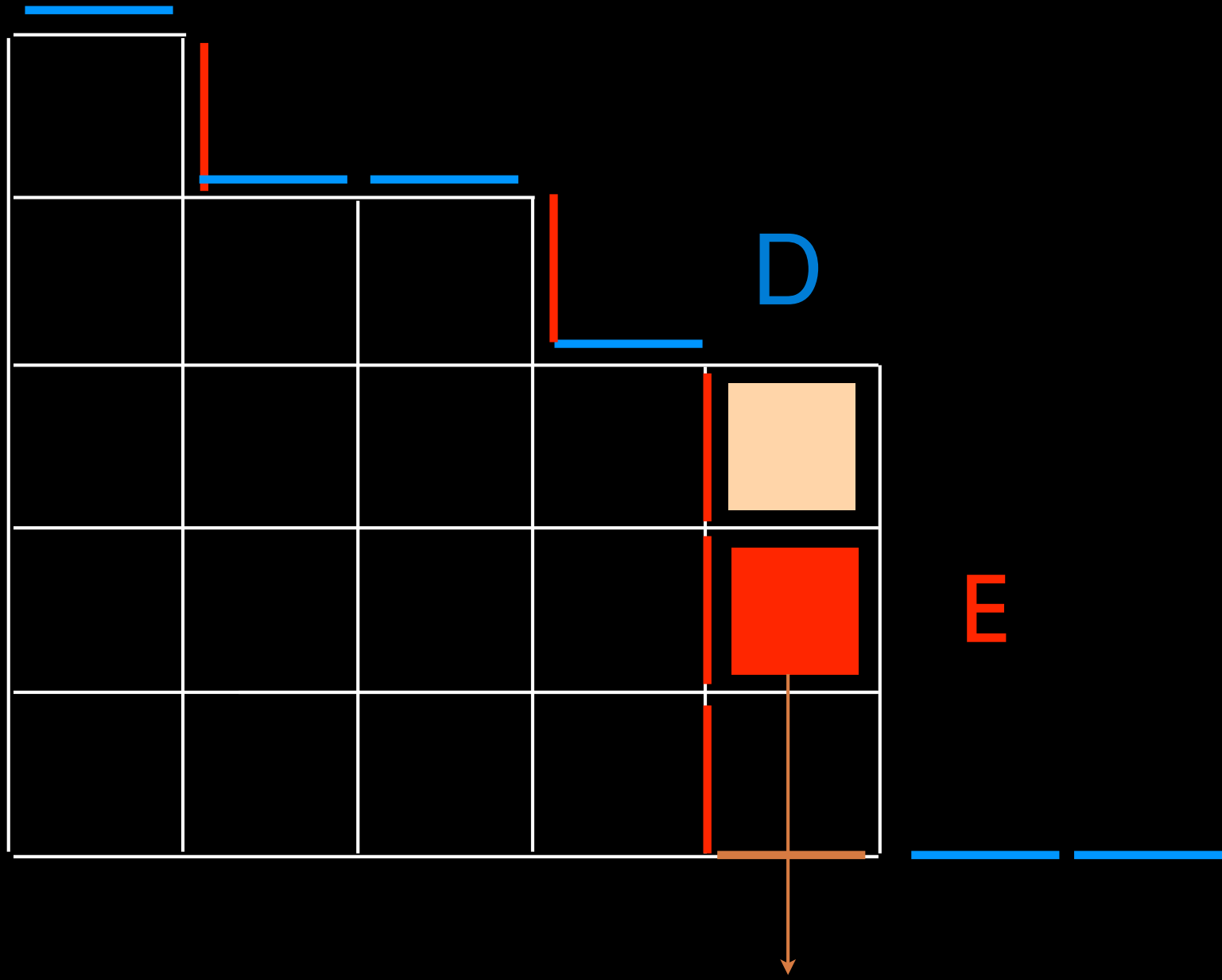
$\boxed{I}$  identity

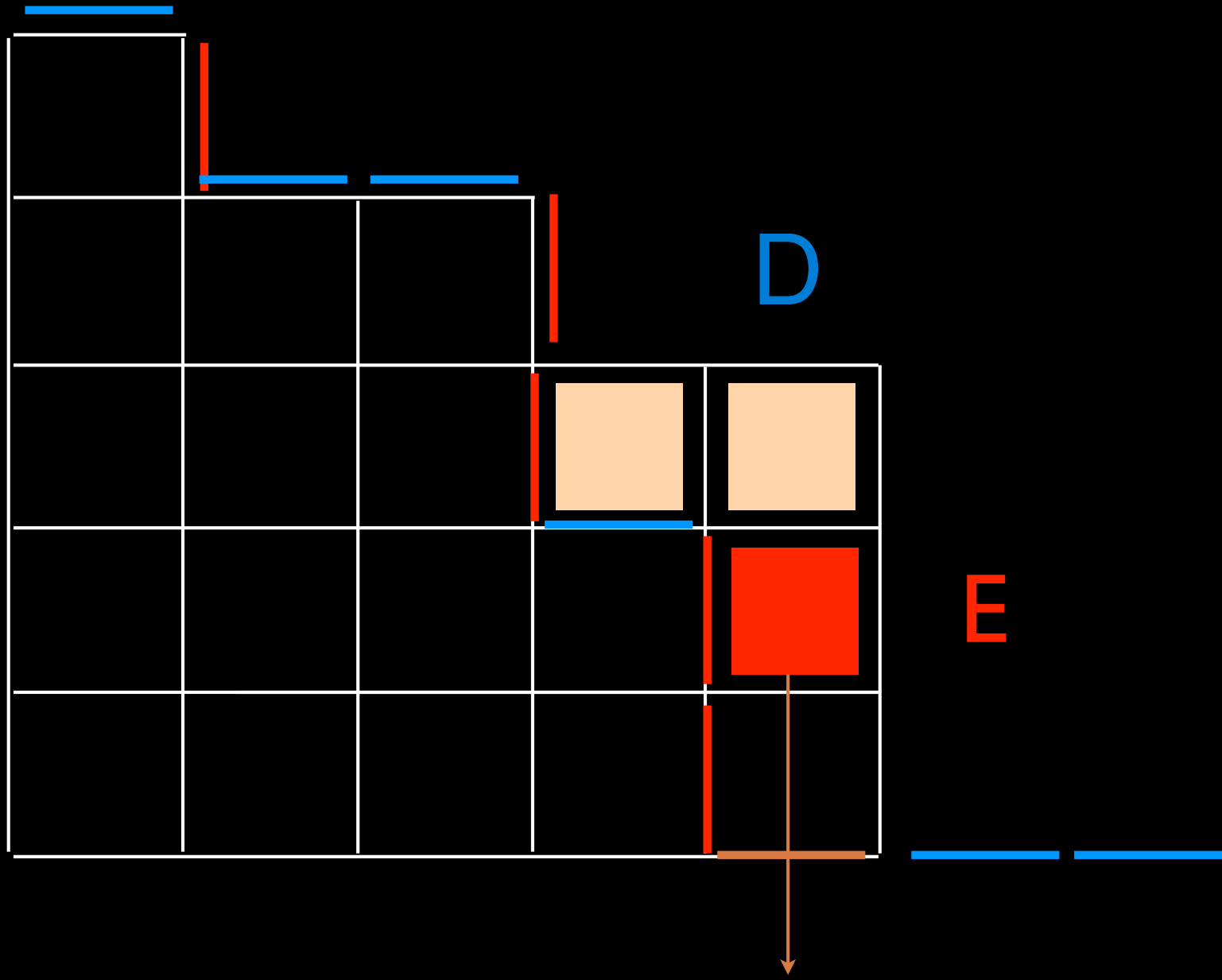


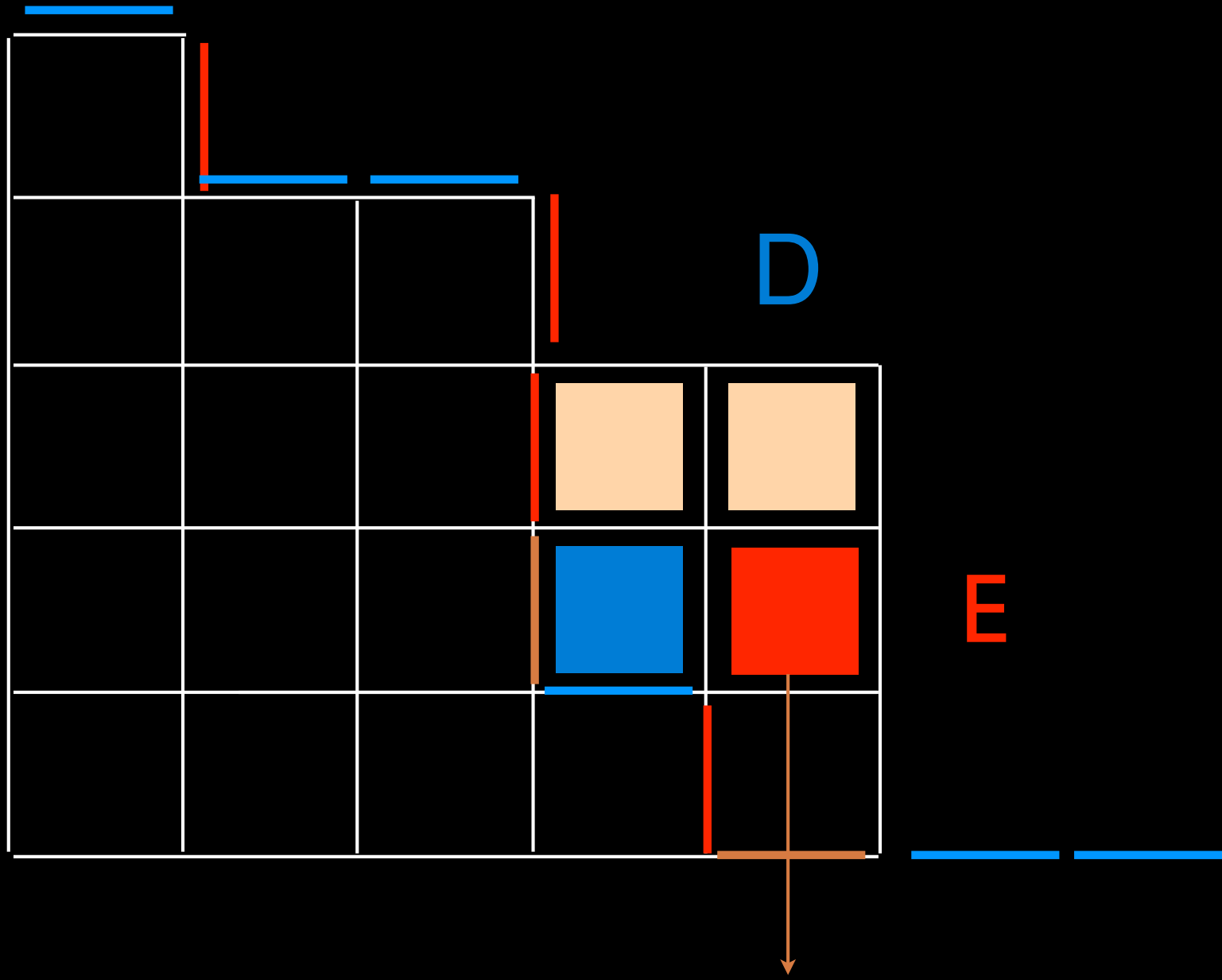


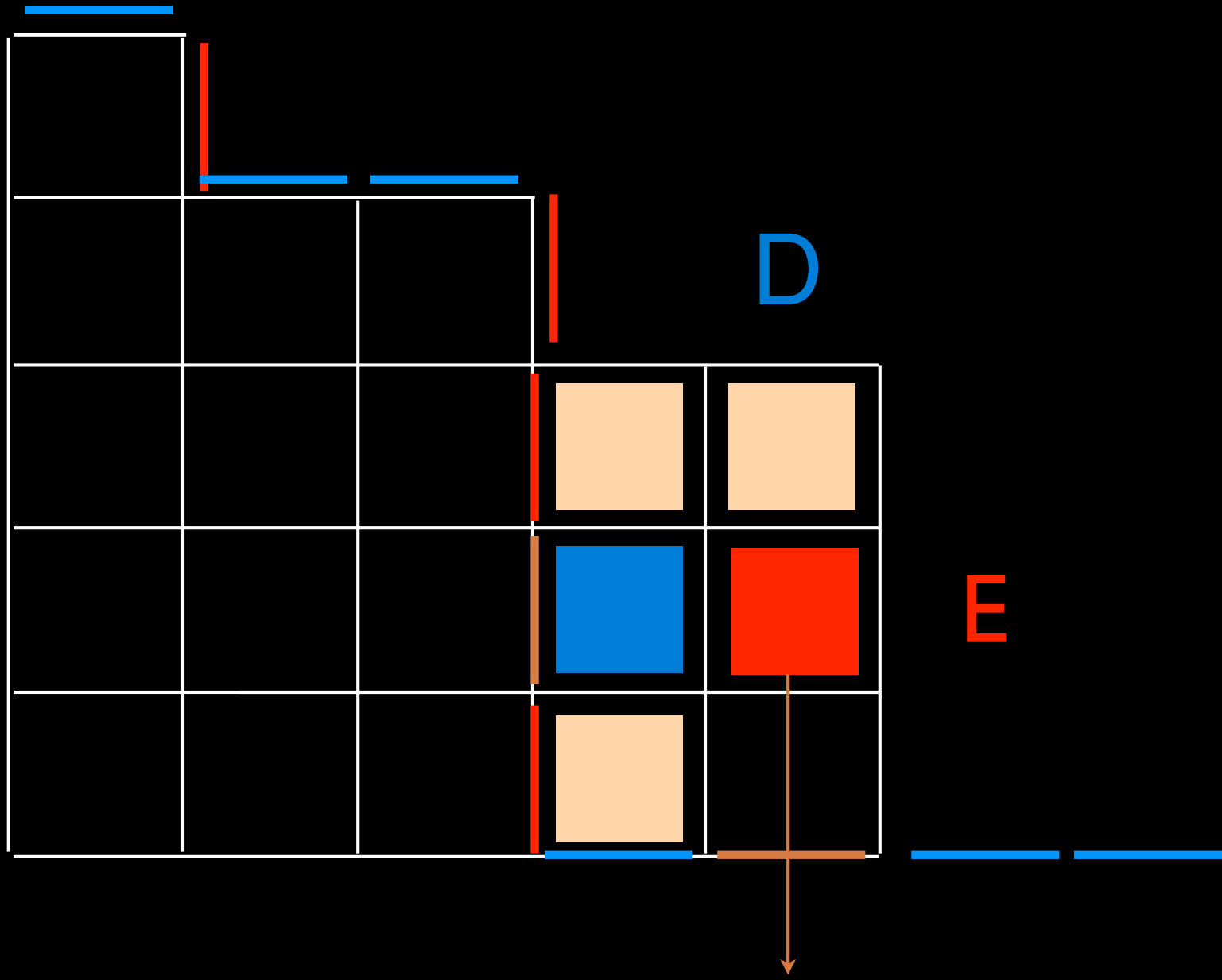


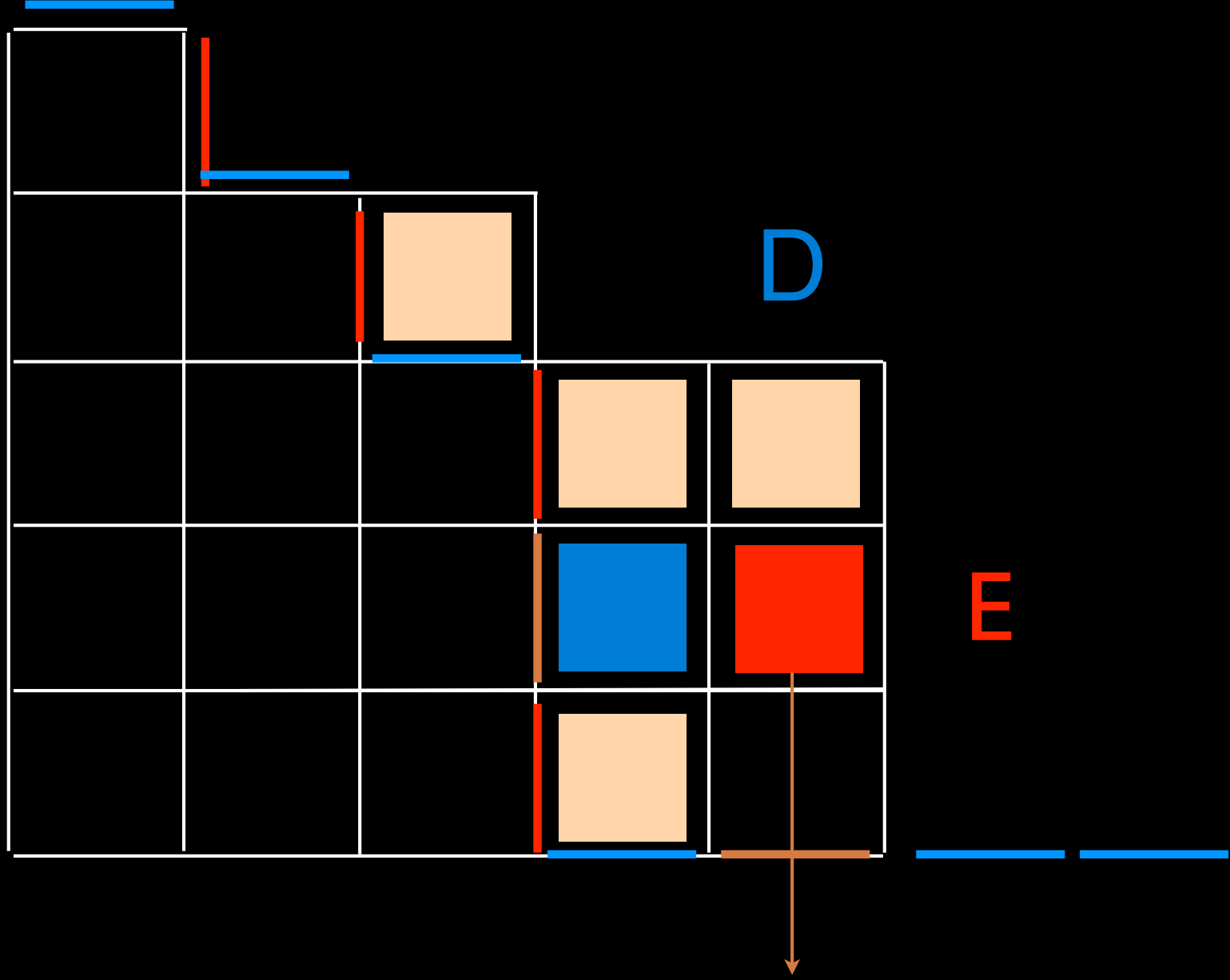


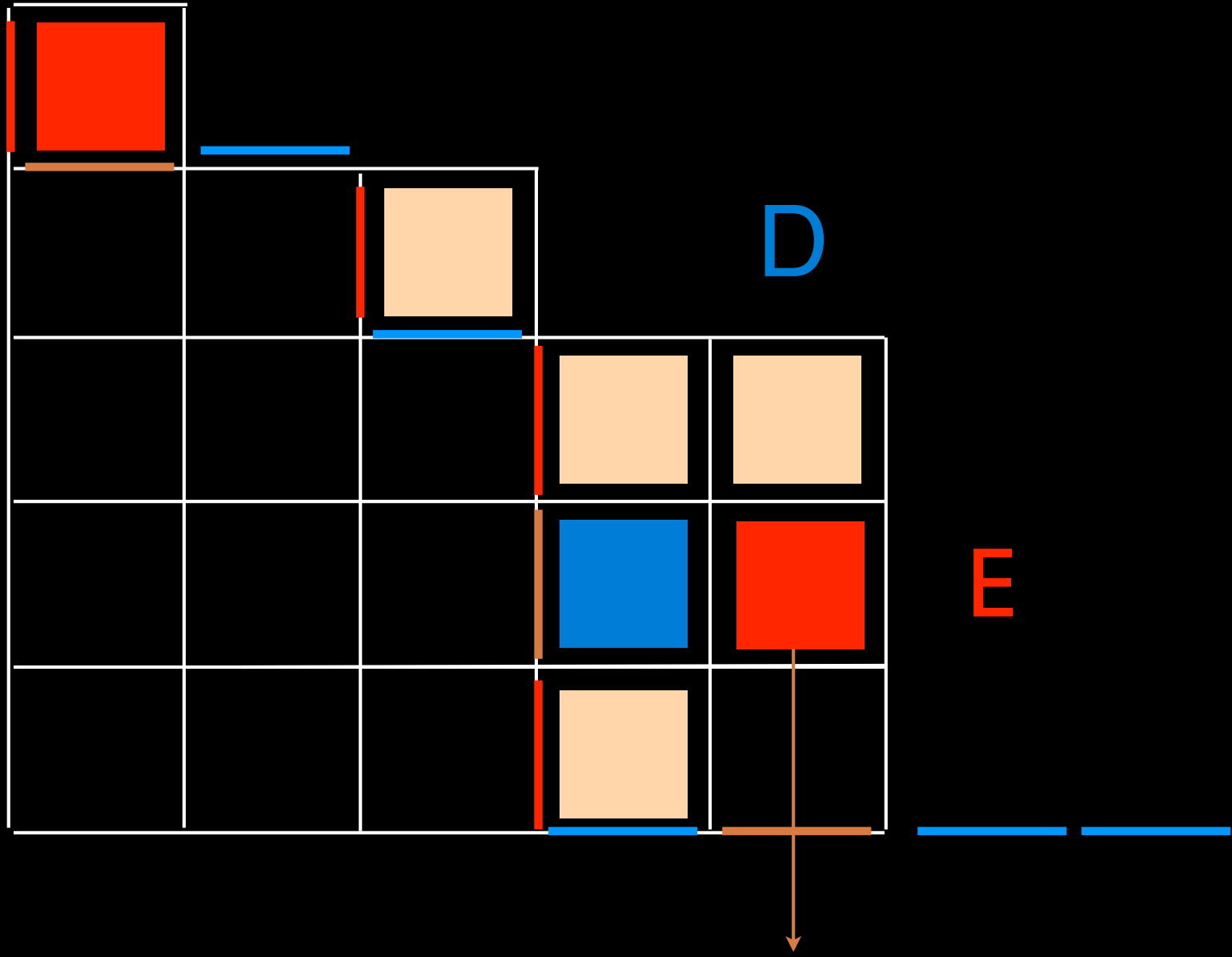


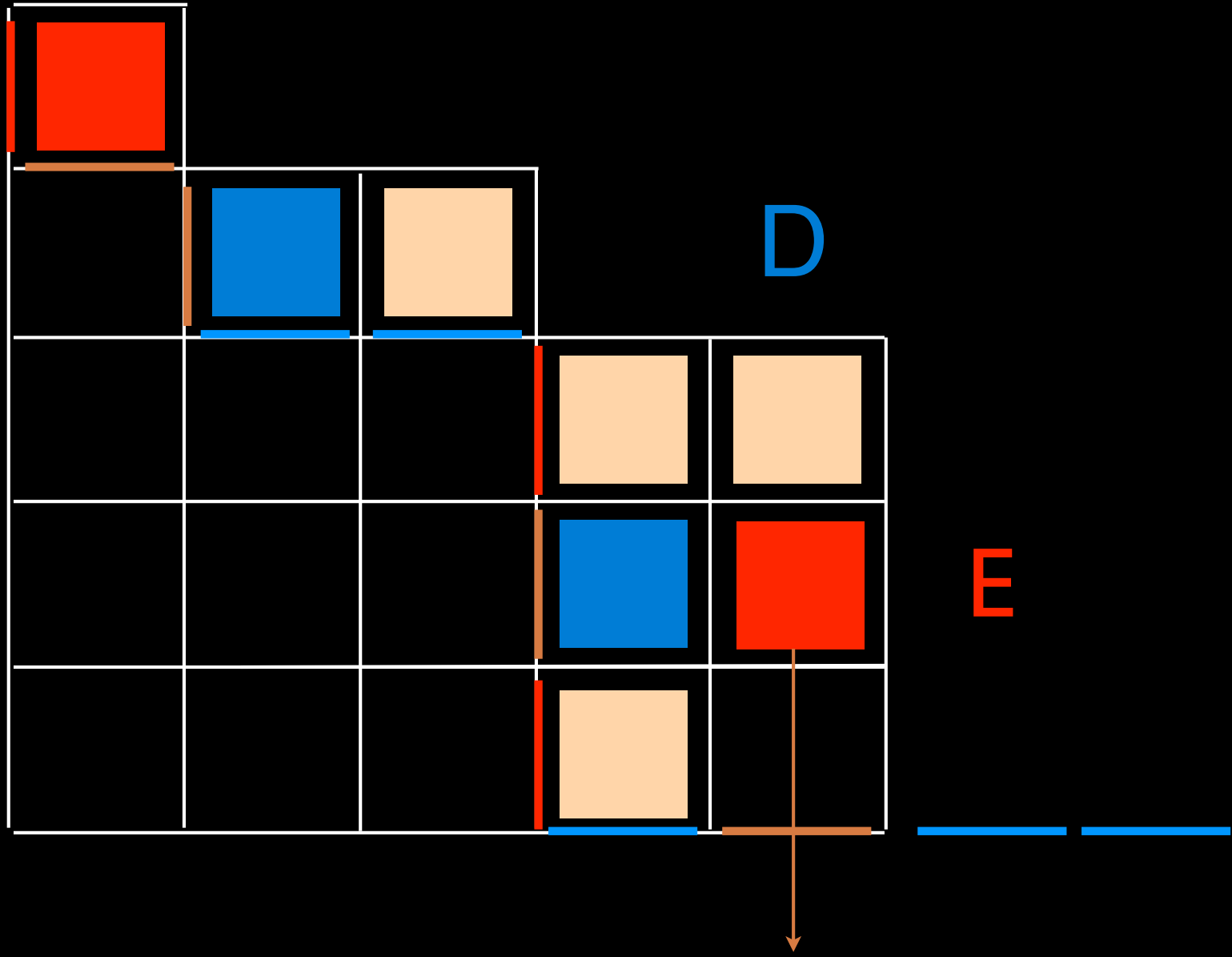


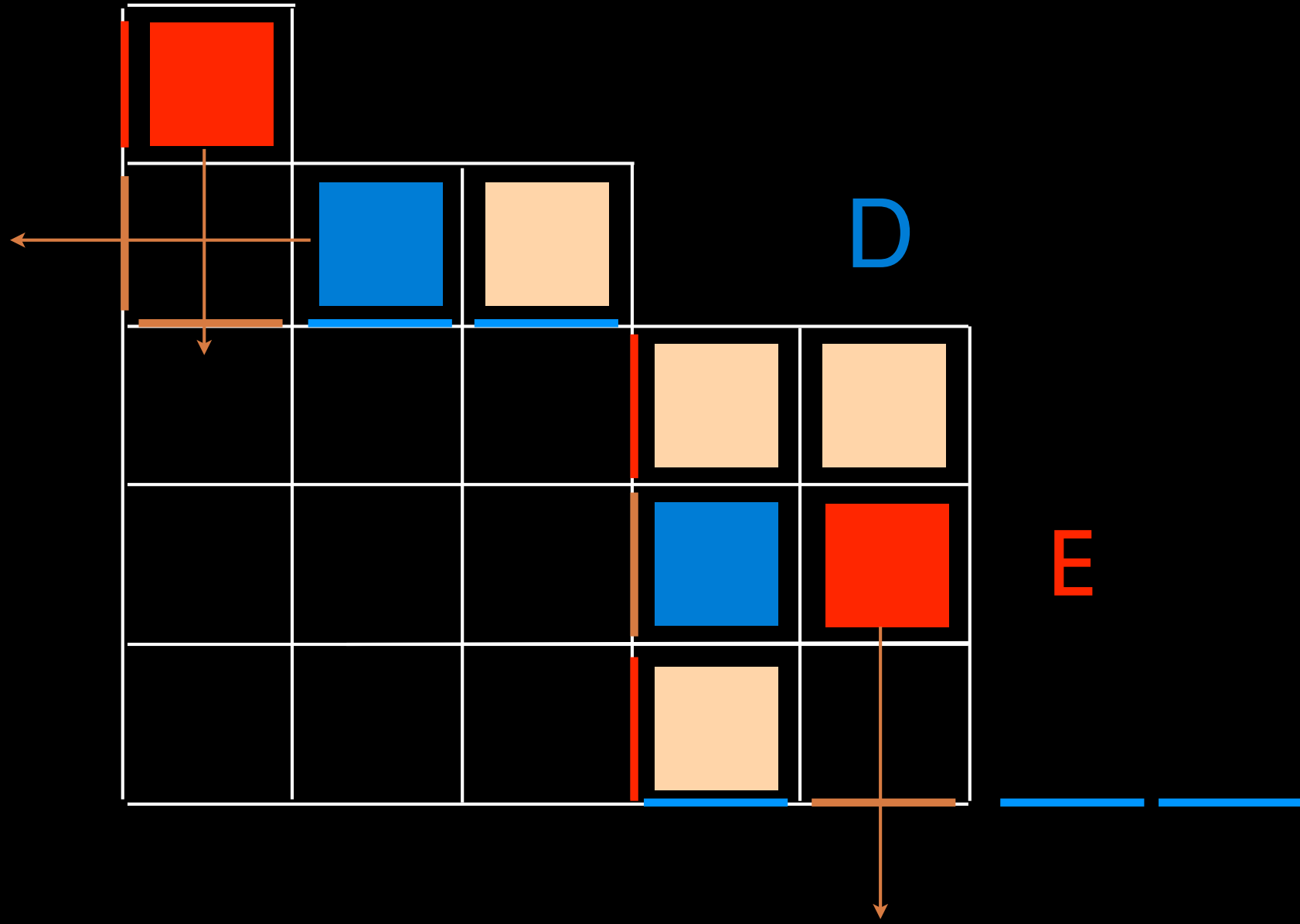


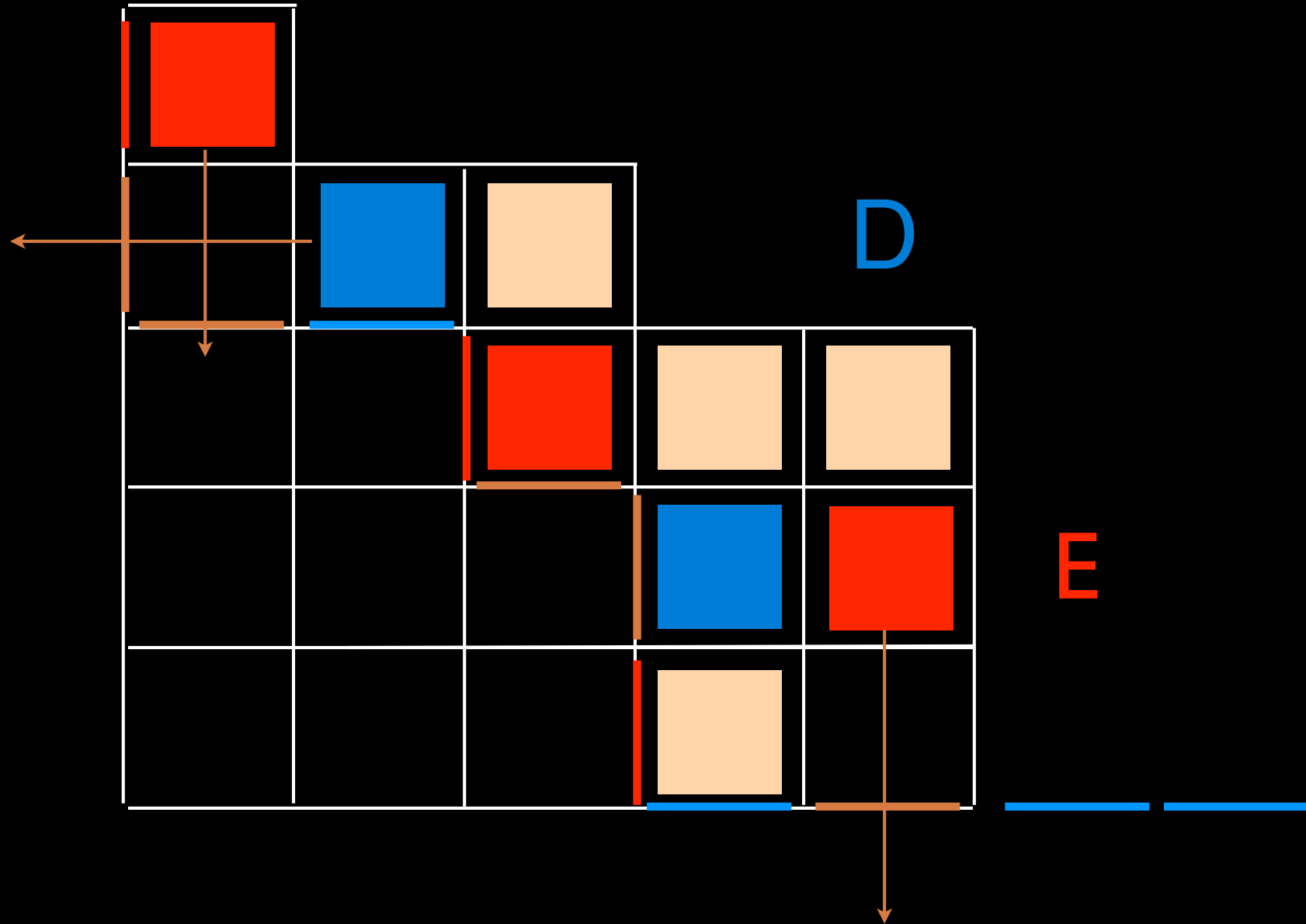


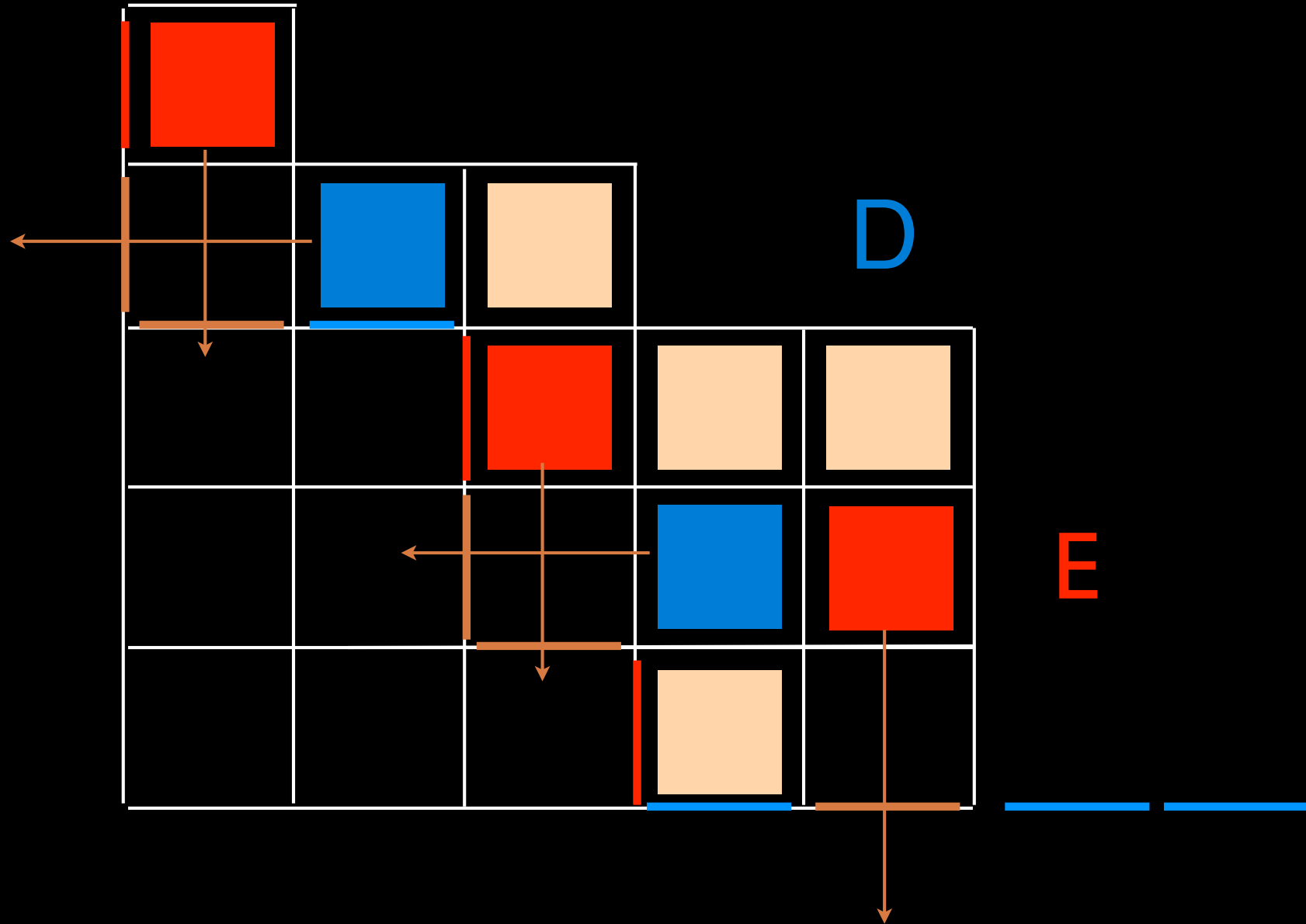


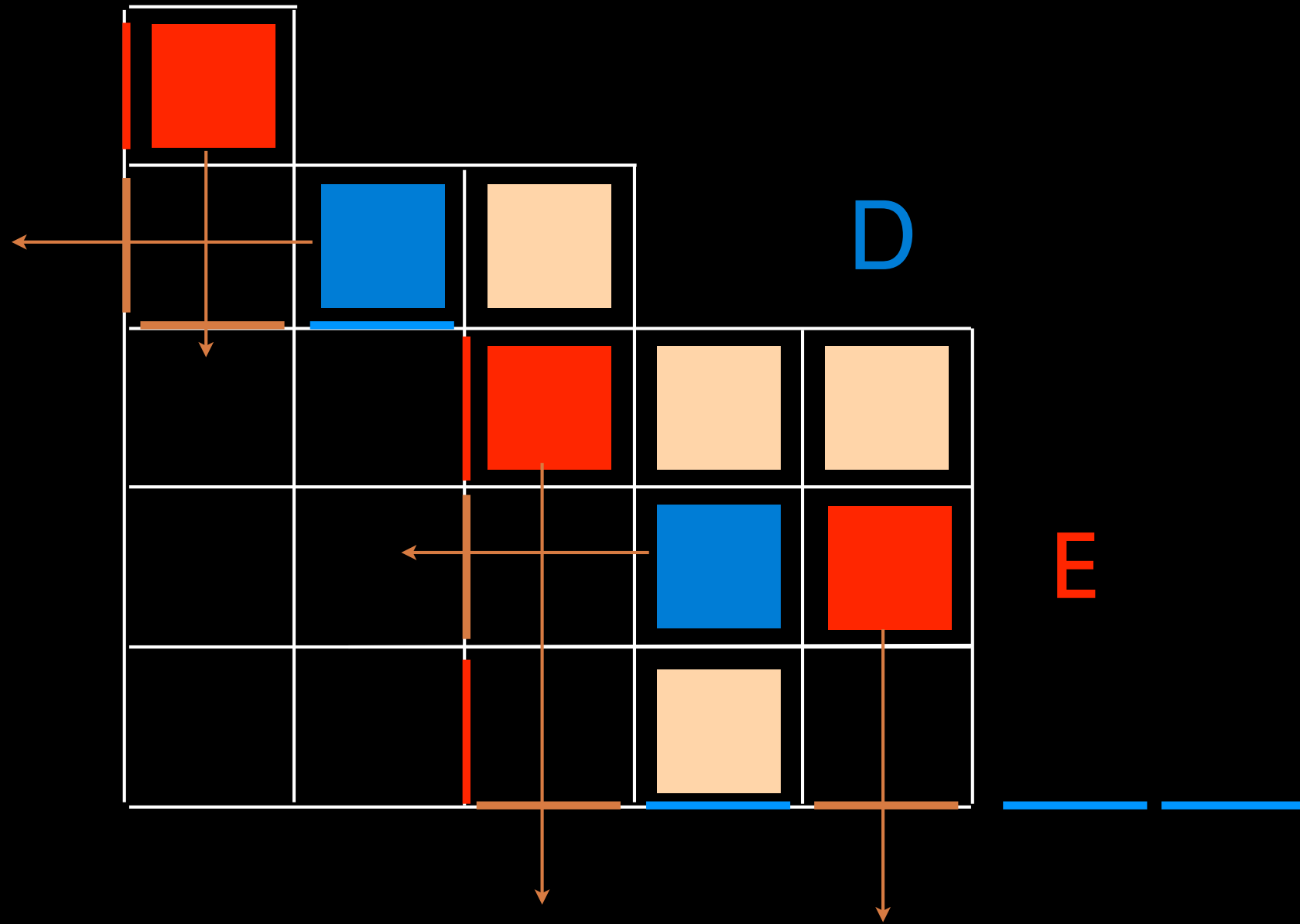


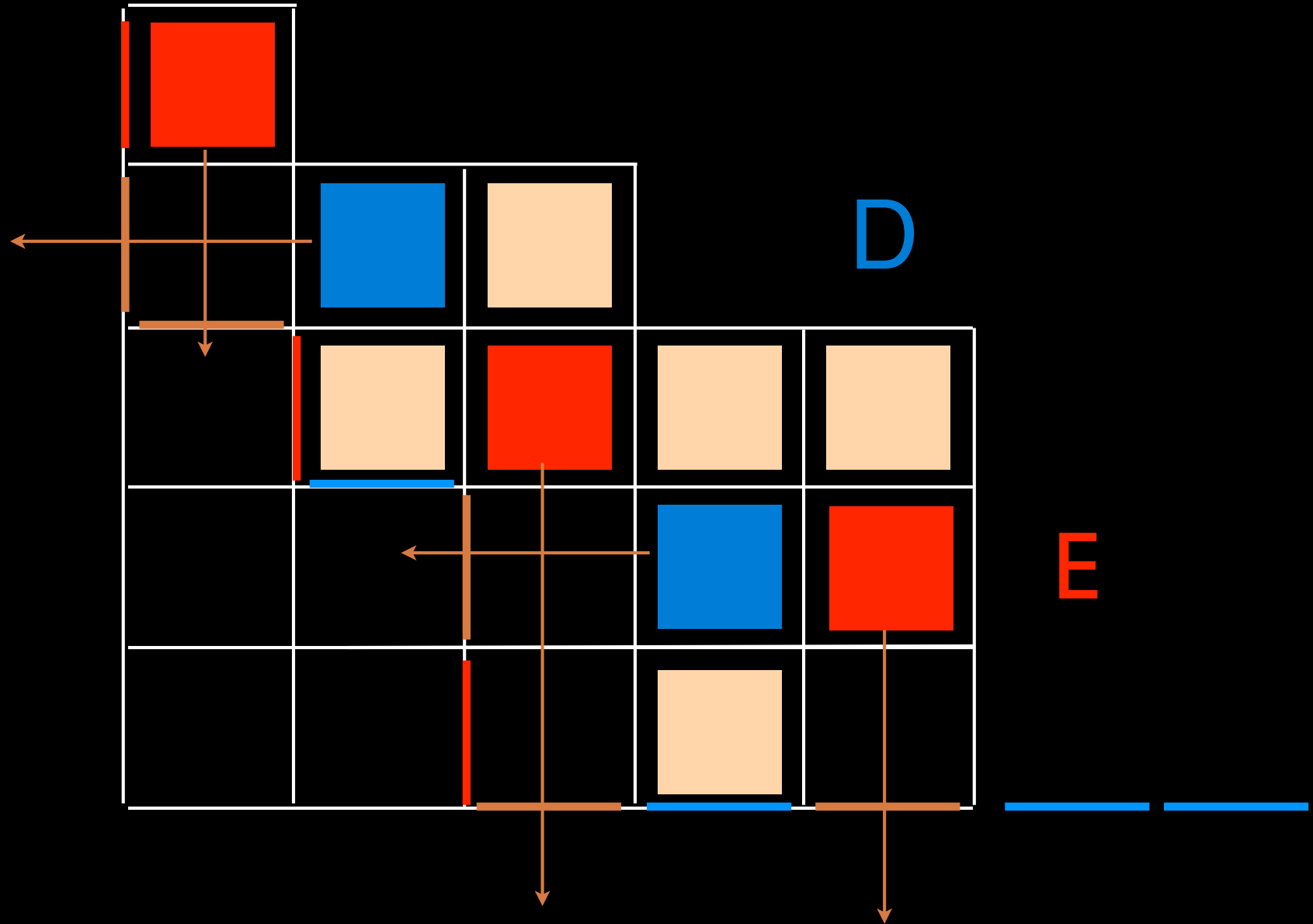


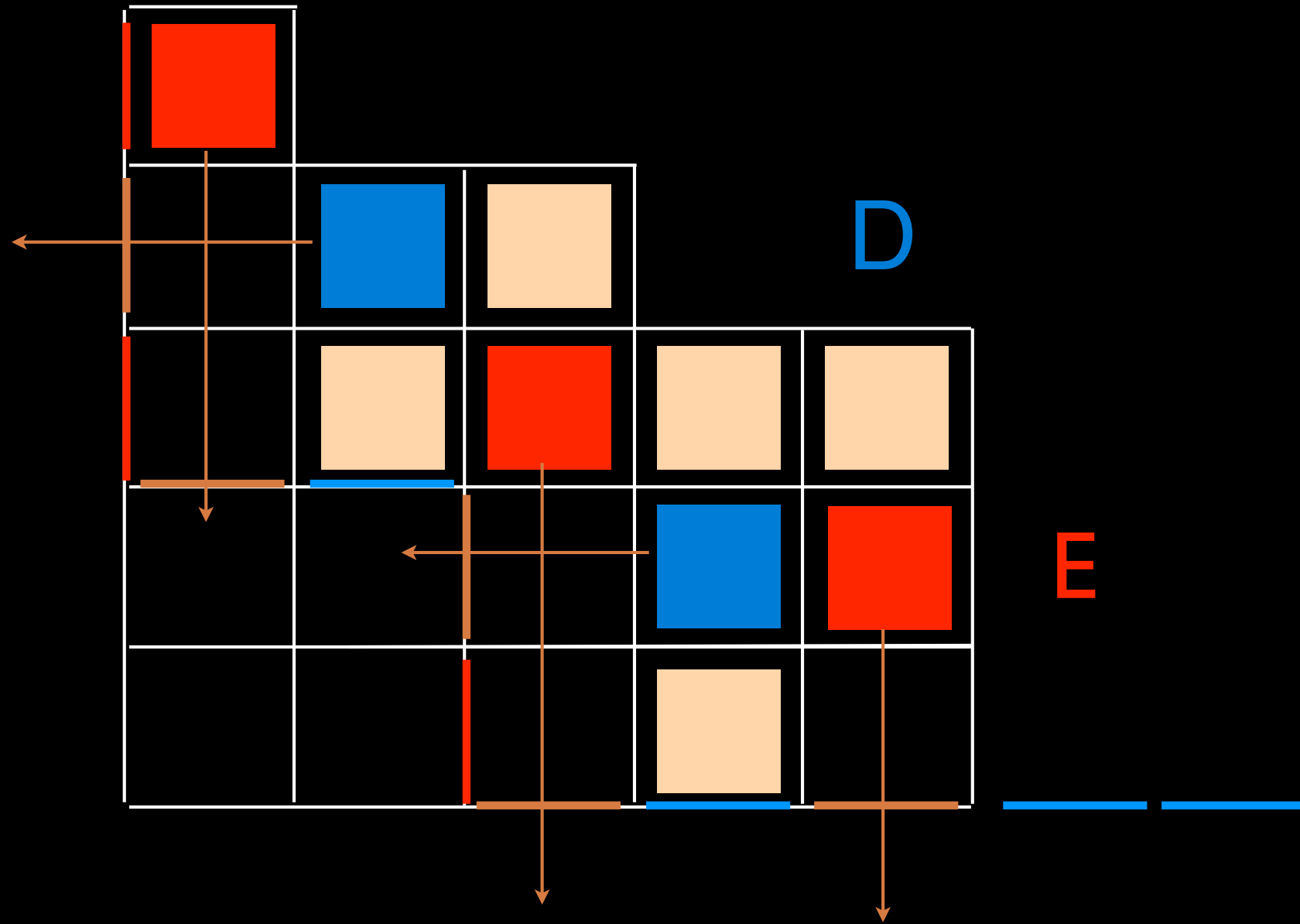


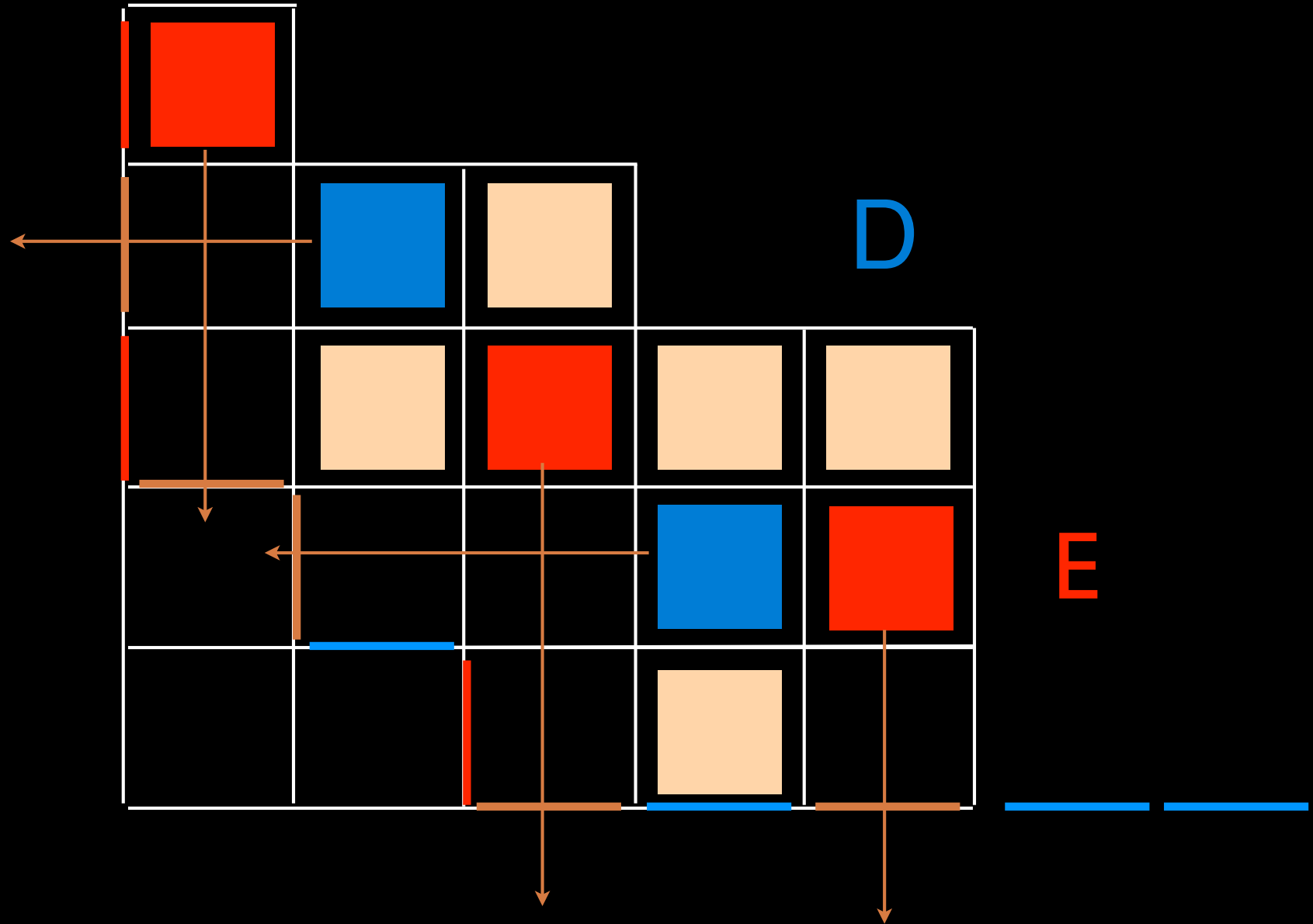


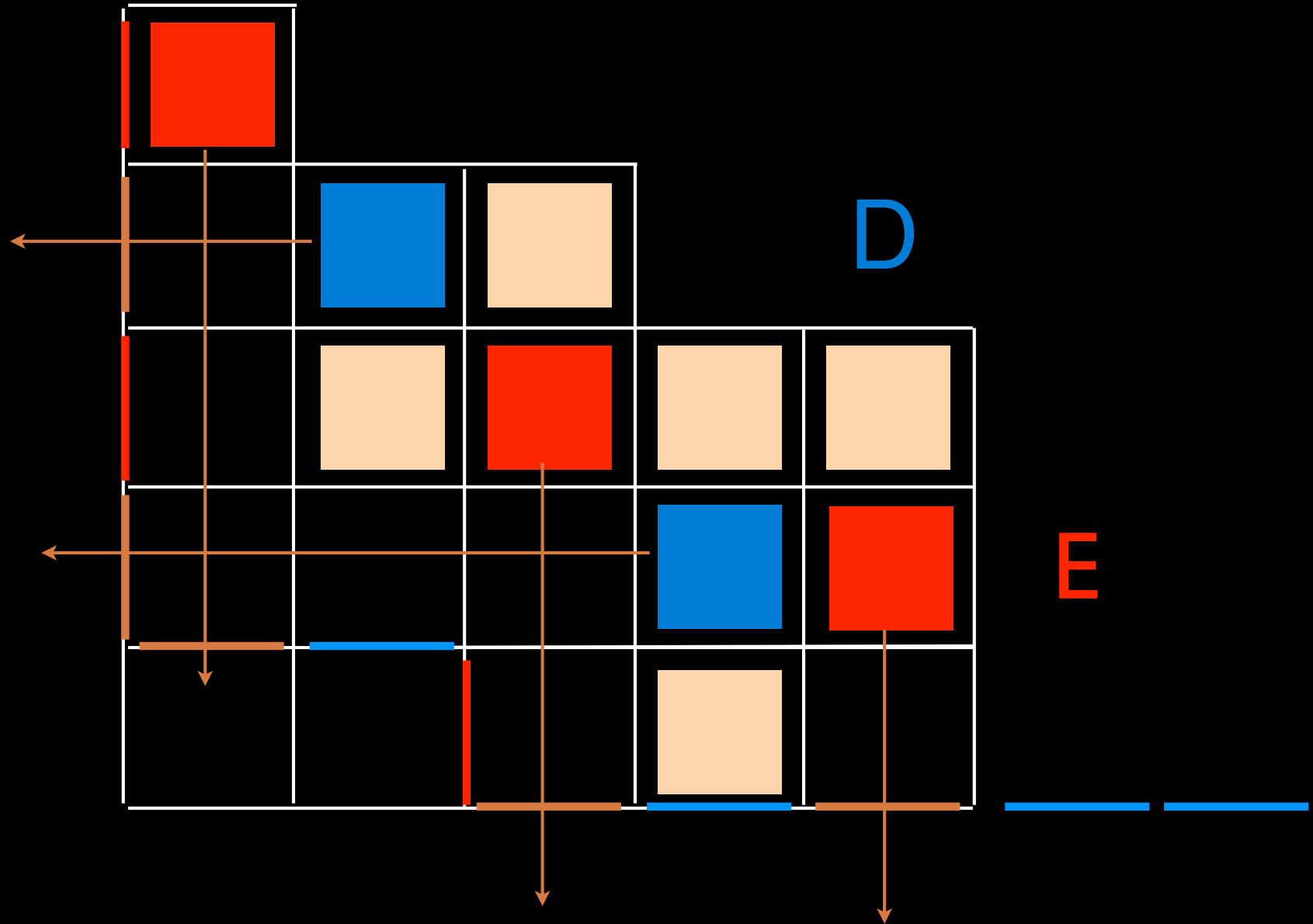


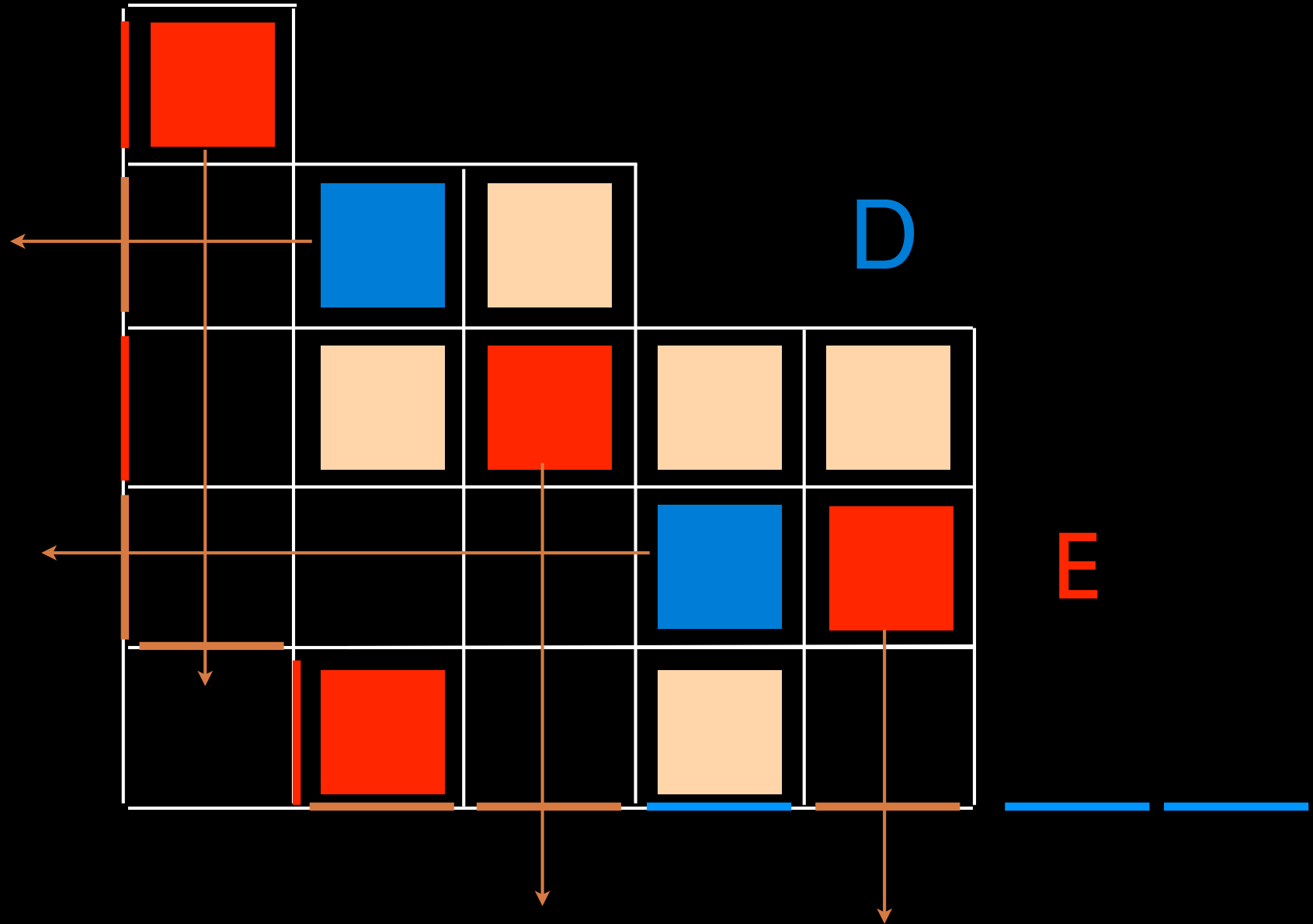


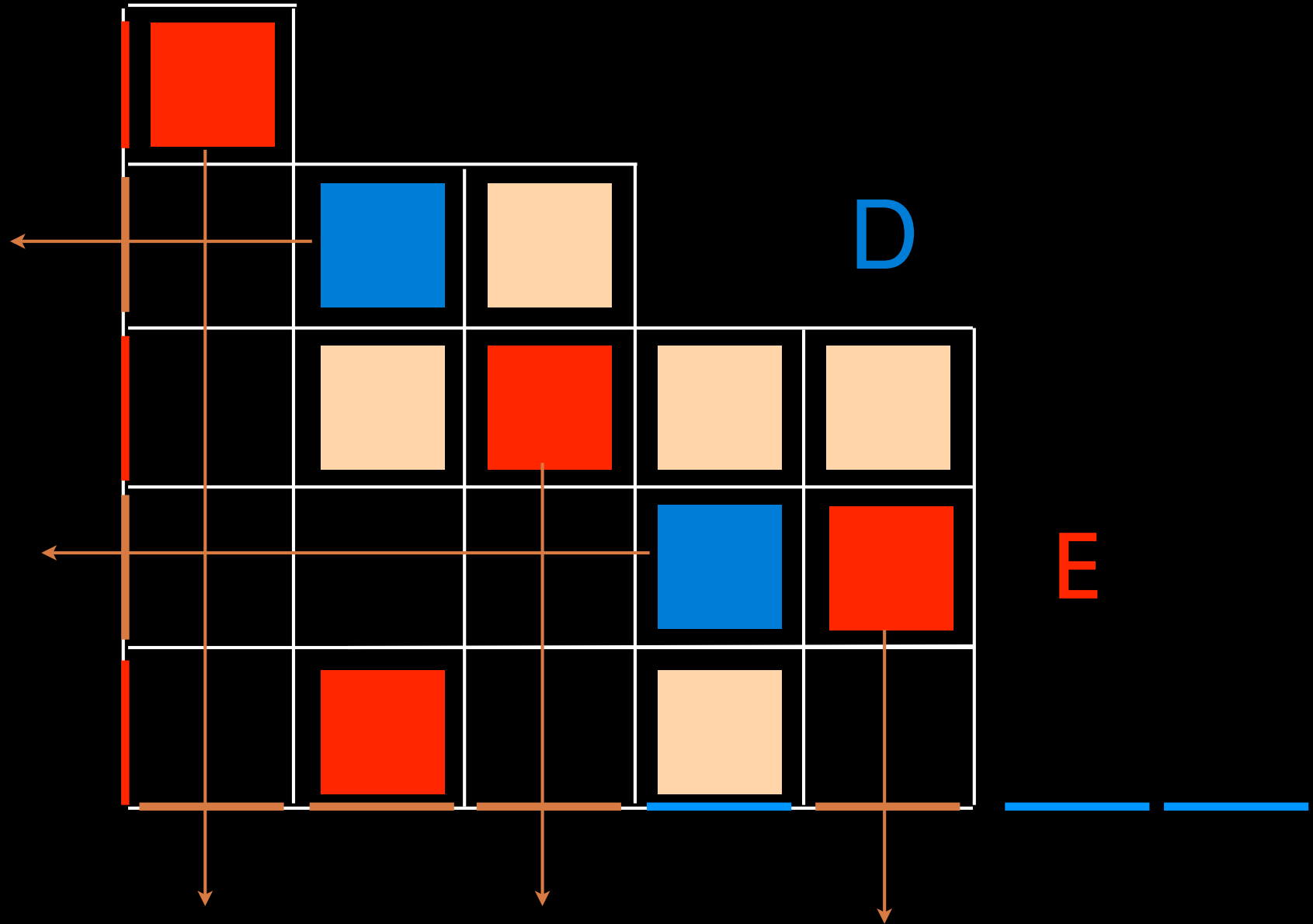


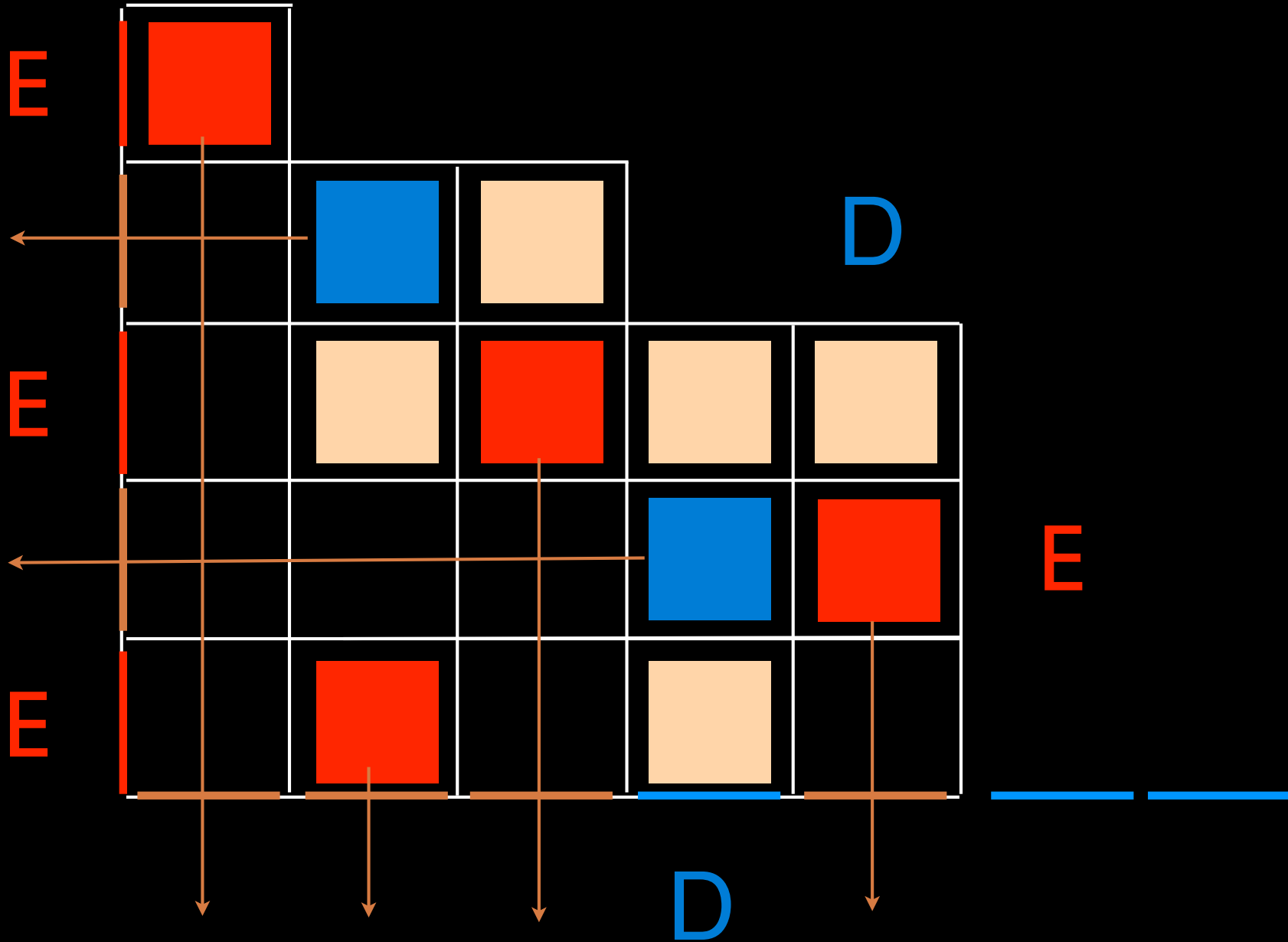








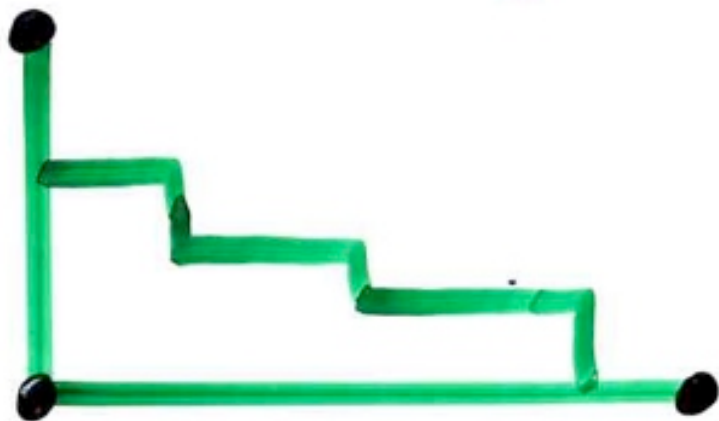




alternative tableaux

# alternative tableau

- Ferrers diagram  $F$

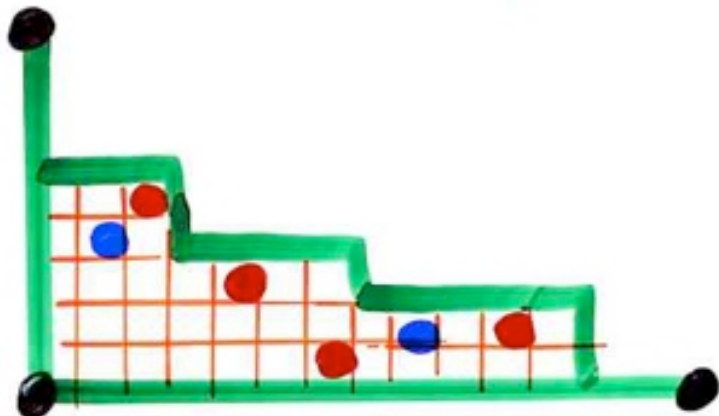


(possibly  
empty rows  
or columns)

$$\begin{aligned} & (\text{nb of rows}) + (\text{nb of columns}) \\ & = n \end{aligned}$$

# alternative tableau

- Ferrers diagram  $F$



(possibly  
empty, rows  
or column)

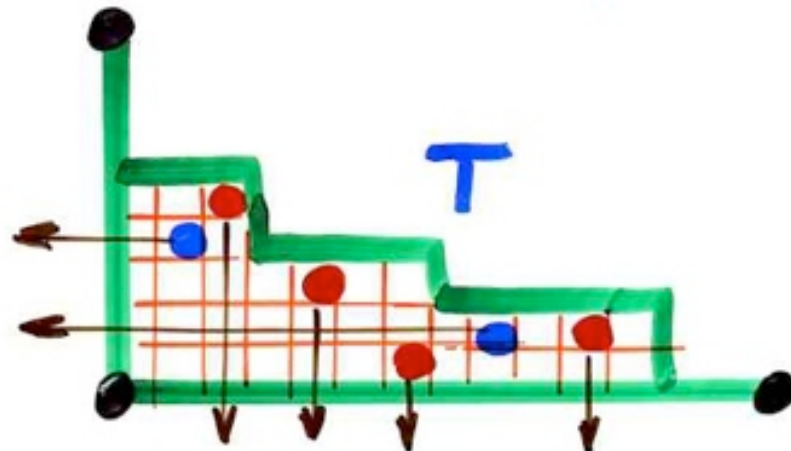
$$(\text{nb of rows}) + (\text{nb of columns}) = n$$

- some cells are

coloured **red** or **blue**

# alternative tableau $T$

- Ferrers diagram  $F$



(possibly  
empty rows  
or column)

$$(\text{nb of rows}) + (\text{nb of columns}) = n$$

- some cells are coloured **red** or **blue**

- - { no coloured cell at the left of
  - { no coloured cell ~~below~~

$n$  size of  $T$

alternative tableau

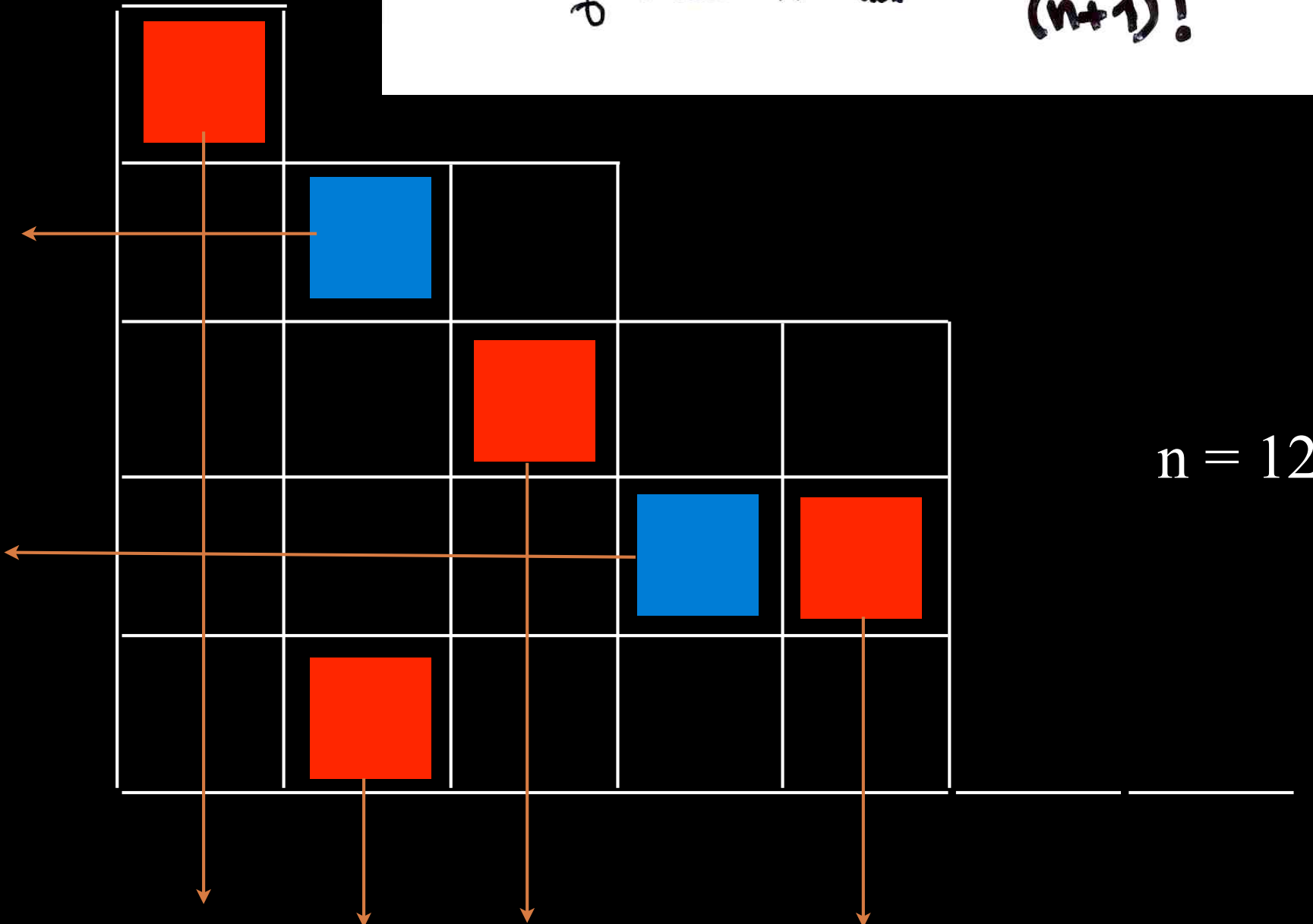
Ferrers diagram  
(=Young diagram)


# alternative tableau


A 5x5 grid with the following colored squares:

- Top-left square (row 1, column 1) is orange.
- Second row, second column (row 2, column 2) is blue.
- Third row, third column (row 3, column 3) is orange.
- Fourth row, fourth column (row 4, column 4) is blue.
- Fifth row, first column (row 5, column 1) is orange.

Prop. The number of alternative tableaux of size  $n$  is  $(n+1)!$



Def- profile of an alternative tableau word  $w \in \{E, D\}^*$



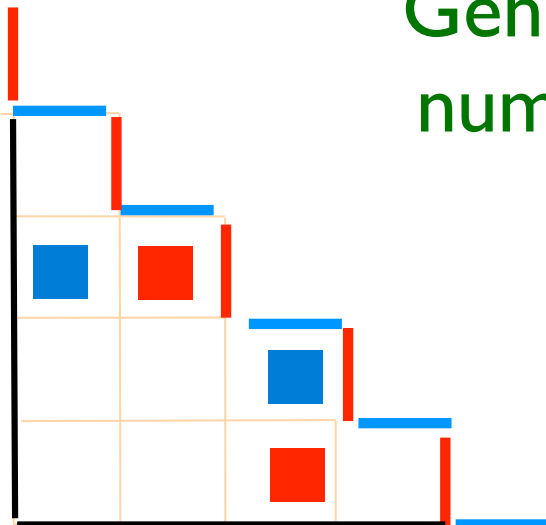
nombres de  
Genocchi

$$G_{2n} = 2(2^{2n}-1) B_{2n}$$

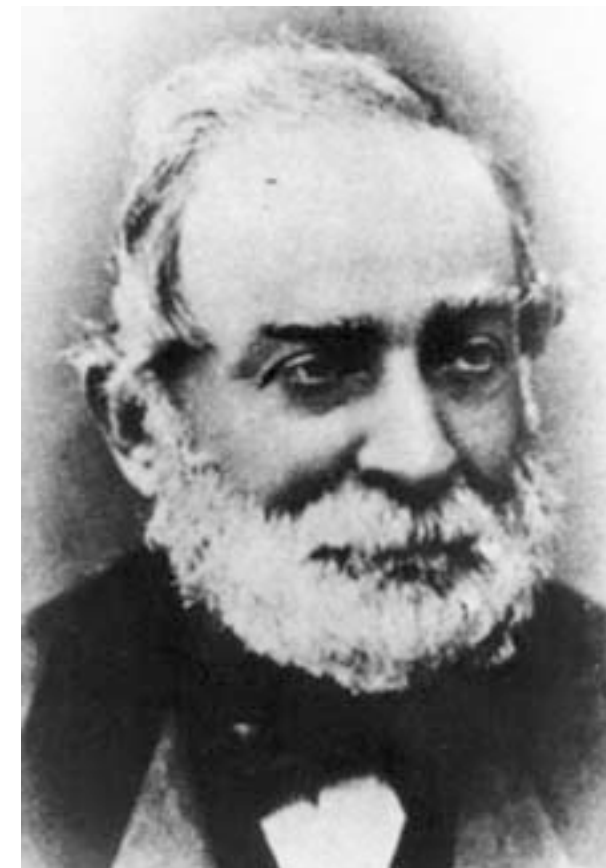
Bernoulli

$$2^{2n} G_{2n+2} = (n+1) T_{2n+1}$$

Genocchi  
numbers



alternating profile



Angelo Genocchi  
1817 - 1889

Hinc igitur calculo instituto reperi

$$A = 1$$

$$B = 1$$

$$C = 3$$

$$D = 17$$

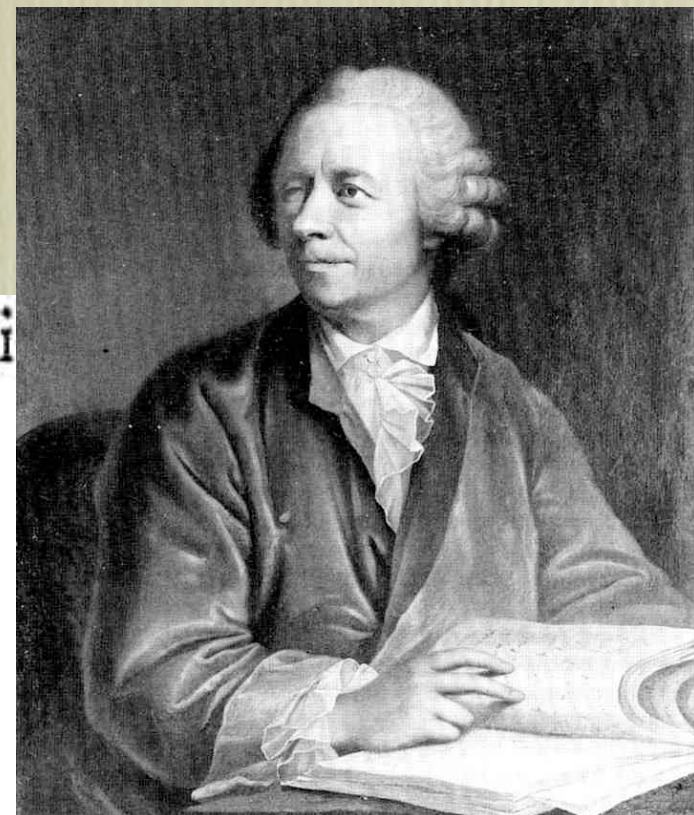
$$E = 155 = 5 \cdot 31$$

$$F = 2073 = 691 \cdot 3$$

$$G = 38227 = 7 \cdot 5461 = 7 \cdot \frac{127 \cdot 129}{3}$$

$$H = 929569 = 3617 \cdot 257$$

$$I = 28820619 = 43867 \cdot 9 \cdot 73 \quad \&c.$$



**BORDEAUX 1.** Le professeur Donald Knuth consacre sa vie à la programmation informatique, considérée comme un art. Il vient d'être sacré docteur honoris causa à Bordeaux

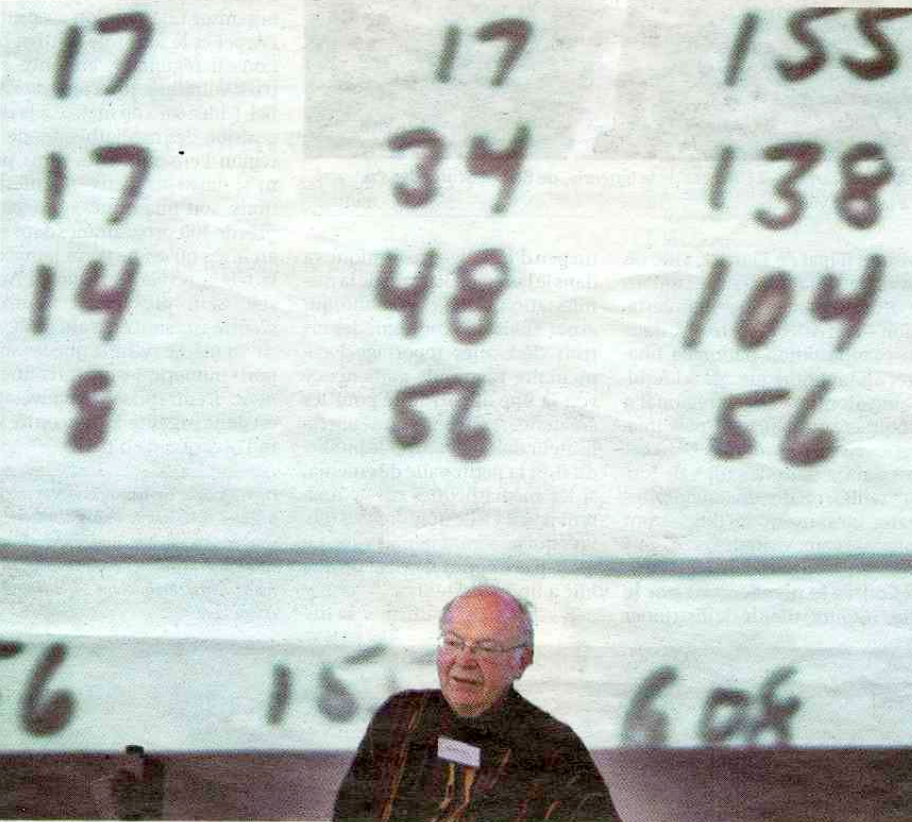
# L'ermite de l'informatique

par Bernard Broustet

**U**ne sommité de l'informatique mondiale a séjourné en Gironde ces derniers jours. Donald Knuth, 69 ans, a été sacré mardi docteur honoris causa de l'université Bordeaux 1, après avoir été lundi au centre d'une journée d'échanges qui réunissait une bonne partie du gratin français et européen de la recherche en informatique (1).

Depuis son premier contact, il y a un demi-siècle, avec un monumental et dinosaure IBM 650, Donald Knuth n'a cessé d'être habité par la passion de l'informatique. Physicien, puis mathématicien de formation, ce géant affable et modeste a voué sa vie à ce qu'il appelle « l'art de la programmation informatique ». Car, à ses yeux, plus qu'une technique, c'est une forme d'activité qui requiert à la fois rigueur, intuition et sens esthétique. Les programmes informatiques réussis ont une sorte de beauté à laquelle même les non-spécialistes peuvent être sensibles.

**Une encyclopédie.** Au long de sa carrière académique (pour l'essentiel à l'université californienne de Stanford), Donald Knuth a fait preuve d'une grande fécondité, en jouant notamment un rôle essentiel dans le développement de langages toujours utilisés par la communauté des mathématiciens. Mais, à 55 ans, le professeur Knuth a décidé de prendre sa retraite de Stanford. Il trouve que les fonctions administratives sont trop absorbantes pour lui permettre de mener à bien l'œuvre entamée à la fin des années 60 sous le titre de « Art of computer programming », sorte d'encyclopédie de l'algorithme et de la programmation informatique.



Donald Knuth, à Bordeaux, le 29 octobre. À 69 ans, il animait une journée d'échanges avec le gratin européen de la recherche en informatique

PHOTO LAURENT THEILLET

que. Donald Knuth a publié, il y a quelque temps déjà, les trois premiers volumes de cette gigantesque somme, traduite en russe, en japonais, en polonais, etc. mais pas en français. Le quatrième tome est pour bientôt. Et Donald Knuth se dit décidé à poursuivre sa tâche tant qu'il en aura la force. Ses ouvrages, dont les ventes cumulées au fil des ans approchent le million d'exemplaires, visent essentiellement les informaticiens et créateurs de programmes. Une communauté cer-

tes minoritaire à travers le monde, mais qui se trouve investie d'une mission considérable. En quelques décennies, l'écriture informatique a aidé à résoudre d'innombrables problèmes. « Mais il y en a tant d'autres qui attendent des solutions, notamment dans le domaine médical », affirme le professeur émérite de Stanford.

**Un chèque de 2,56 dollars.** Pour mener à bien sa tâche, Donald Knuth s'est imposé une vie

écrive par courrier ordinaire ou par fax, dont il prend parfois connaissance avec des mois de retard. Il s'oblige, en revanche, à tenir aussi scrupuleusement que possible sa promesse d'envoyer un chèque de 2,56 dollars à tout lecteur ayant détecté une erreur dans un de ses livres. Par ailleurs, pour se détendre, il pratique l'orgue, appris dans sa prime jeunesse auprès de son père qui partagea sa vie entre la musique et l'enseignement.

**L'orgue de Sainte-Croix.** Donald Knuth n'est pas fermé aux choses de ce monde. Sur son site Internet, à la rubrique « Questions qui ne me sont pas fréquemment posées », il demande entre autres : « Pourquoi mon pays a-t-il le droit d'occuper l'Irak ? ». « Pourquoi mon pays ne soutient-il pas une Cour internationale de justice ? » Mais cet homme de conscience ne se veut pas militant, pas plus qu'il n'aspire au vedettariat et à la richesse. « Beaucoup de gens, dit-il, ont tendance à considérer que l'informatique, c'est surtout des histoires de business, d'entreprise. Ce n'est pas mon cas. » Sortant de sa semi-reclusion, Donald Knuth s'est donc laissé convaincre d'accepter les hommages de l'université de Bordeaux, après celles de Harvard, d'Oxford, de Tübingen. Il a eu le coup de foudre pour la beauté et l'agrément de la ville. Et il n'oubliera sans doute pas de sitôt l'orgue illustre de l'église Sainte-Croix (2), sur lequel il a eu le honneur d'exercer son talent.

(1) Ces journées étaient organisées par le Laboratoire bordelais de recherche en informatique (Labri).

(2) Thierry Semenoux, professeur d'orgue au conservatoire de Bordeaux, a joué dans ce domaine un rôle de cicéronne auprès de Donald Knuth.

stationary probabilities  
for the PASEP

$$DE = qED + E + D$$

$$w(E, D) = \sum_T q^{k(T)} E^{i(T)} D^{j(T)}$$

*alternative tableau with profile w*

$k(T)$  = nb of 

$i(T)$  = nb of rows without blue cell

$j(T)$  = nb of columns without red cell

stationary  
probabilities

permutation tableau

S. Corteel, L. Williams  
(2007) (2008) (2009)

$$\left\{ \begin{array}{l} DE = qED + D + E \\ DV = \bar{\beta}V \quad \bar{\beta} = 1/\beta \\ WE = \bar{\alpha}W \quad \bar{\alpha} = 1/\alpha \end{array} \right.$$

$$WE^i D^j V = \bar{\alpha}^i \bar{\beta}^j \underbrace{WV}_1$$

Cor. The stationary probability associated to the state  $\tau = (\tau_1, \dots, \tau_n)$  (PASEP)

$$\text{proba}_{\tau}(q; \alpha, \beta) = \frac{1}{Z_n} \sum_{\tau} q^{L(\tau)} \alpha^{-f(\tau)} \beta^{-a(\tau)}$$

alternative tableaux  
profile  $\tau$

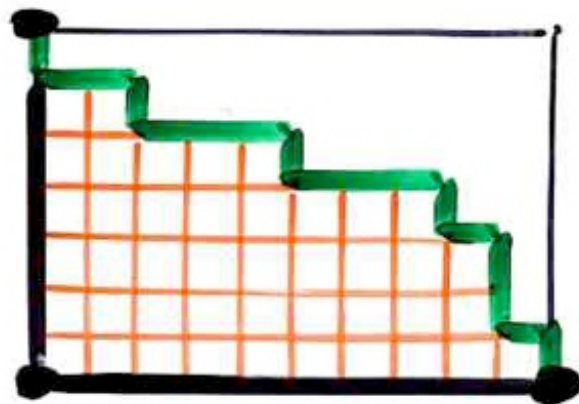
$$\left\{ \begin{array}{l} f(\tau) \text{ nb of rows} \\ a(\tau) \text{ nb of columns} \\ L(\tau) \text{ nb of cells} \end{array} \right.$$

without   cell 

permutation  
tableaux

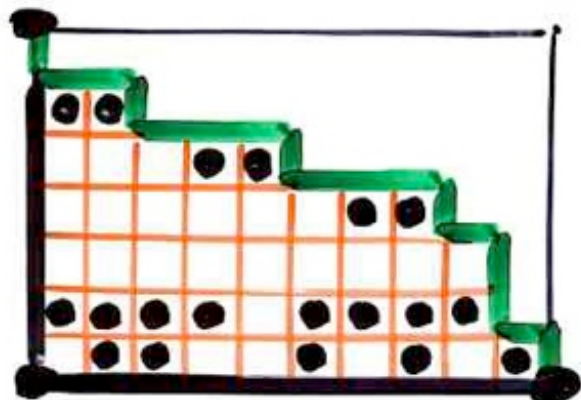
# Permutation Tableau

Ferrers diagram  $F \subseteq k \times (n-k)$   
rectangle



# Permutation Tableau

Ferrers diagram  $F \subseteq k \times (h-k)$   
rectangle



filling of the cells  
with 0 and 1

(i)

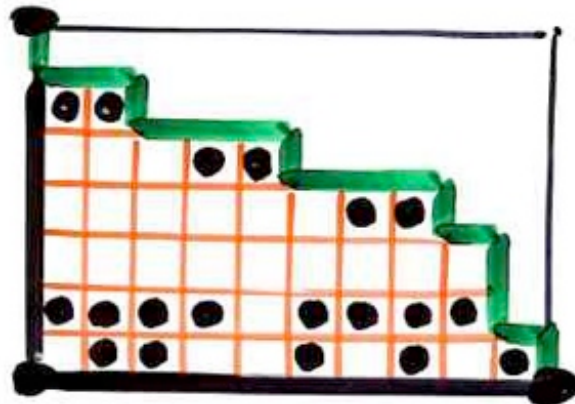
$$\square = 0$$

$$\bullet = 1$$

(ii)

# Permutation Tableau

Ferrers diagram  $F \subseteq k \times (n-k)$   
rectangle



filling of the cells  
with 0 and 1

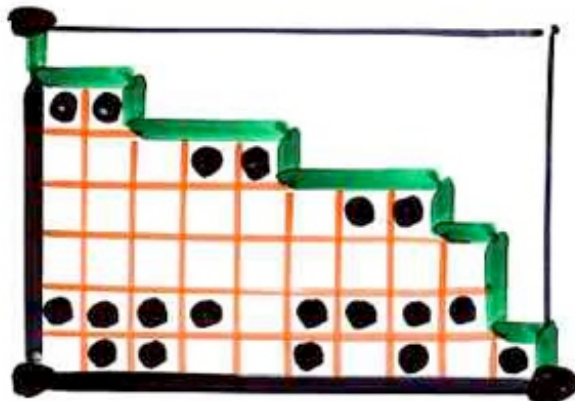
(i) in each column :  
at least one 1

$$\square = 0 \quad \bullet = 1$$

(ii)

# Permutation Tableau

Ferrers diagram  $F \subseteq k \times (n-k)$   
rectangle



filling of the cells  
with 0 and 1

(i) in each column :  
at least one 1

$$\square = 0 \quad \bullet = 1$$

(ii)  forbidden

# permutation tableau

A. Postnikov (2001, ...)

totally nonnegative part of the Grassmannian

E. Steingrímsson, L. Williams (2005)

Corteel, Williams (2006) PASEP

Partially Asymmetric Exclusion Process

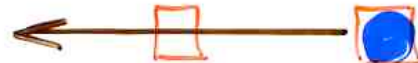
The total number of permutation tableaux ( $n$  fixed,  $1 \leq k \leq n$ ) is  $n!$

bijection  
permutations  $\longleftrightarrow$  permutation  
tableaux

- Postnikov, Steingrímsson, Williams (2005)
- Corteel (2006)
- Corteel, Nadeau (2007)

bijection { alternative tableaux size  $n$   
permutation tableaux size  $(n+1)$

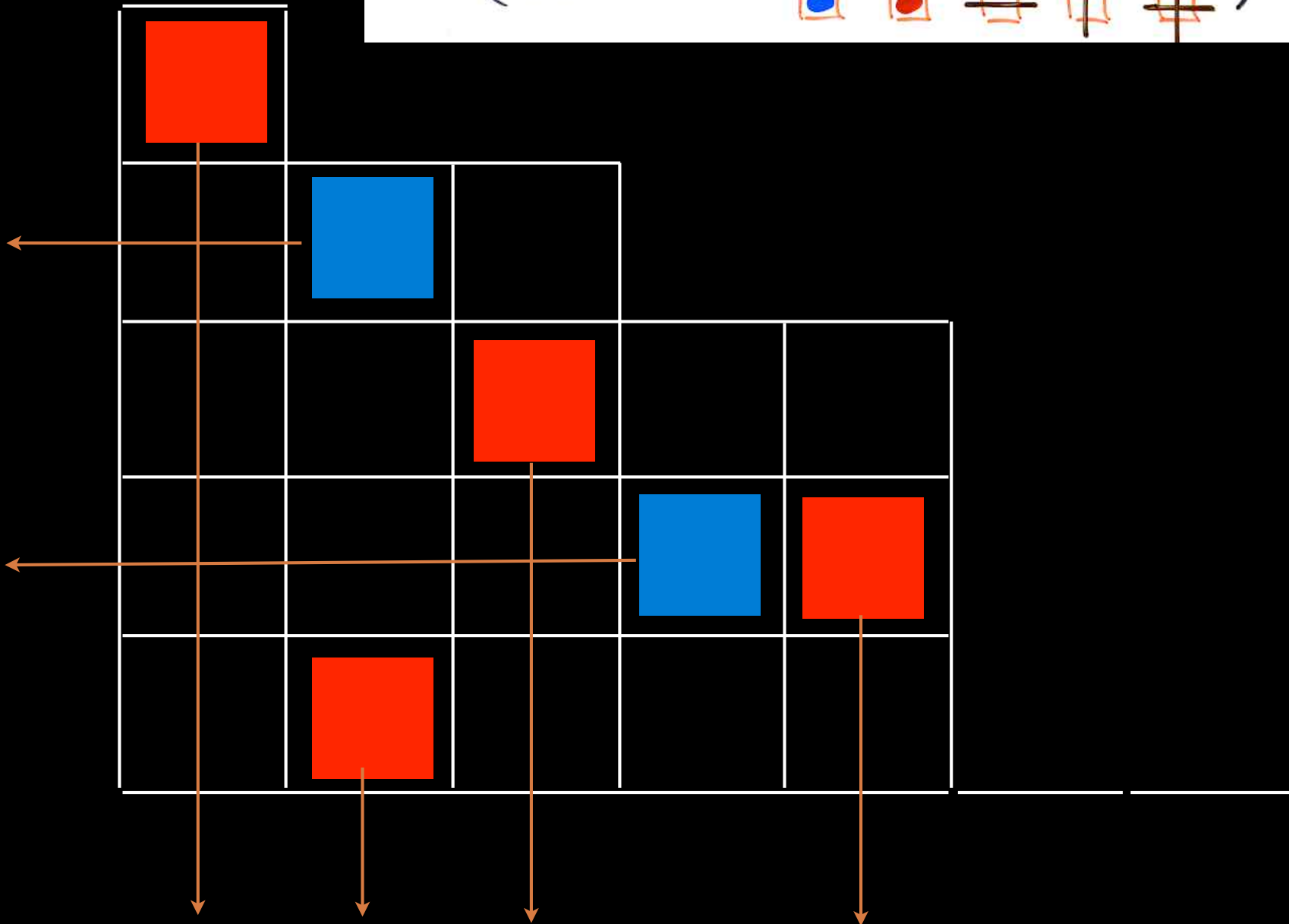
(i) mark the cells

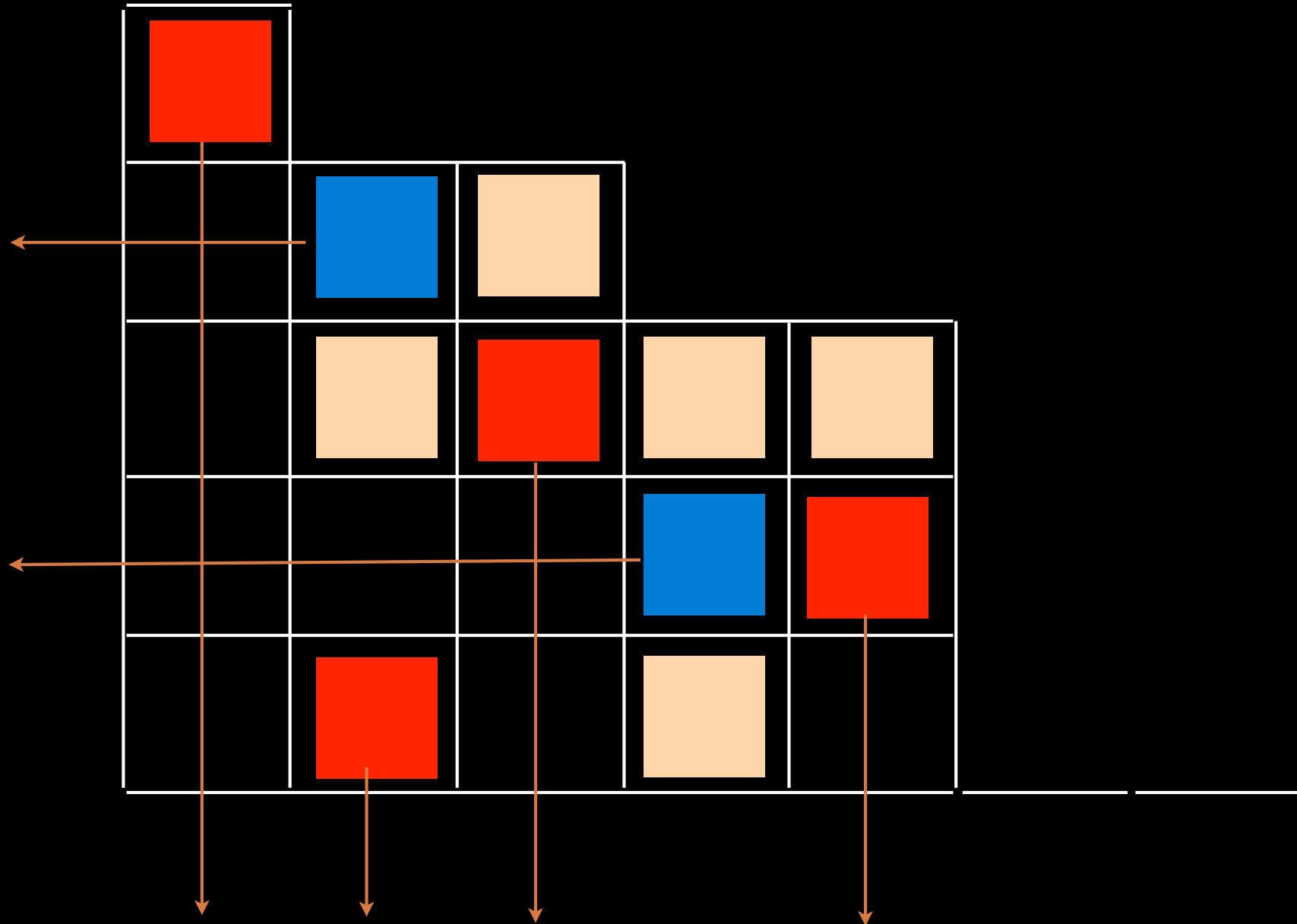



A 5x5 grid of cells. The cells are colored as follows: Row 1: Red (top-left), Black, Black, Black, Black. Row 2: Black, Blue (center), Black, Black, Black. Row 3: Black, Black, Red (center), Black, Black. Row 4: Black, Black, Black, Blue (center), Red (center). Row 5: Black, Red (bottom-left), Black, Black, Black. The grid has a black background.

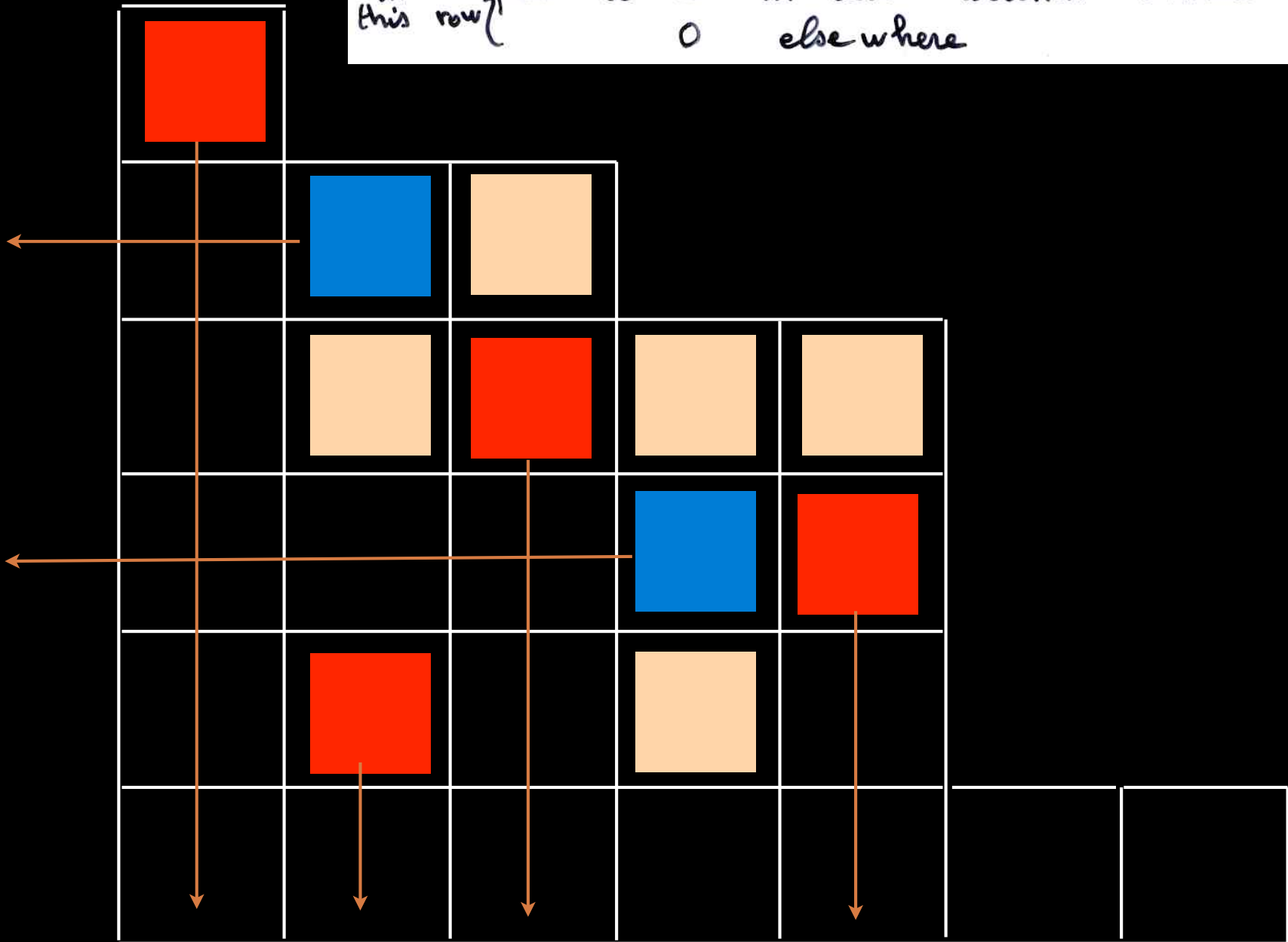
alternative tableau

(ii) mark the empty cells by  
(other than  )



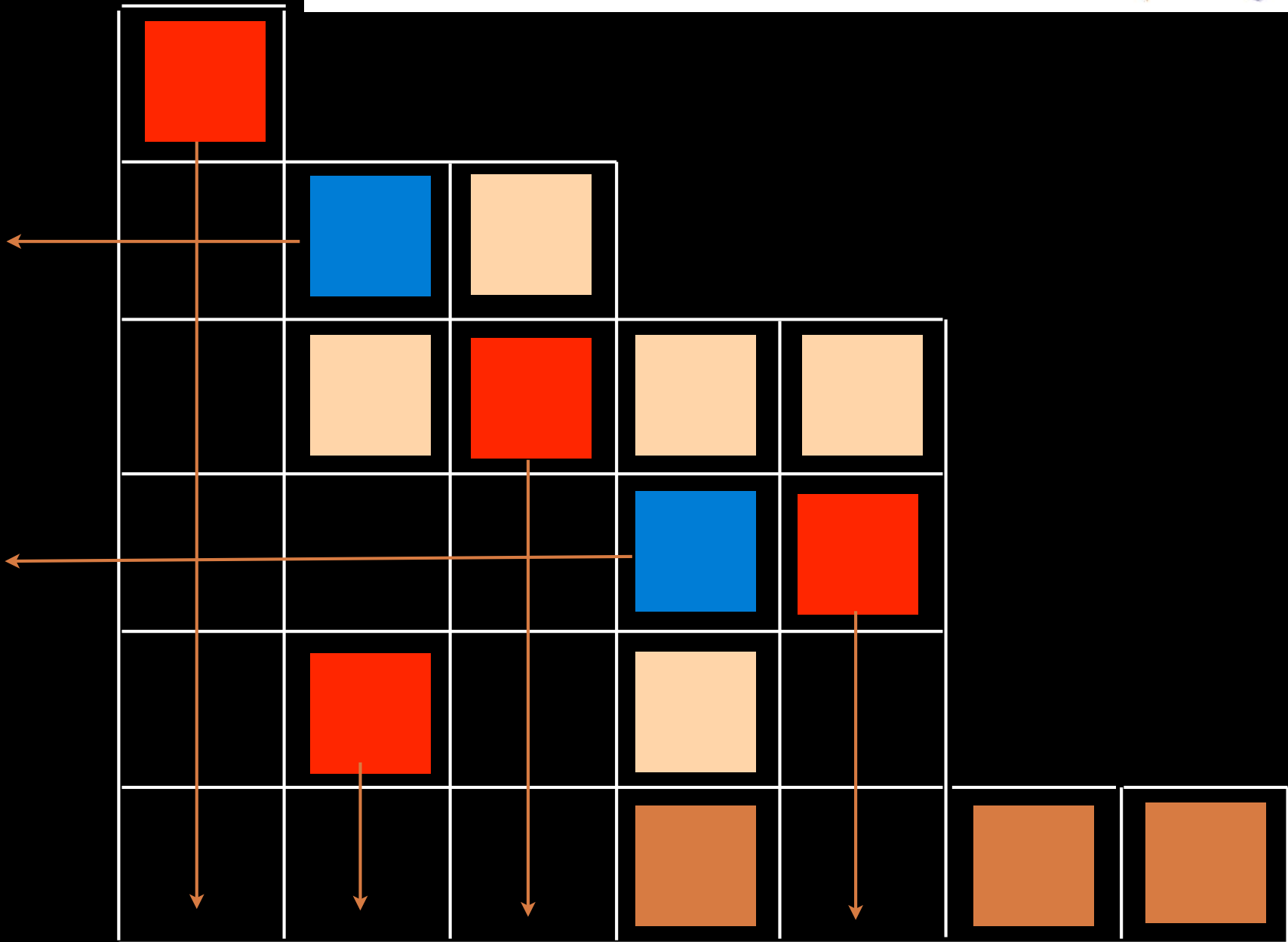


(iv) add a new row below  $F$   
 in this row put a 1 in each column without  
 0 elsewhere 



(iii) • replace the cells  
• replace the cells

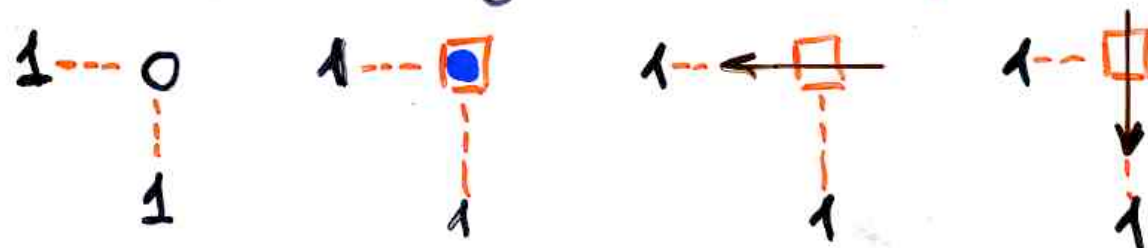
or  $\times$  by 1  
 $\square$  or  $\square$  中  $\#$  by 0



# permutation tableau

check:  $AT \xrightarrow{\varphi} PT$  size  $(n+1)$

- there exist at least a 1 in each column of  $PT = \varphi(AT)$

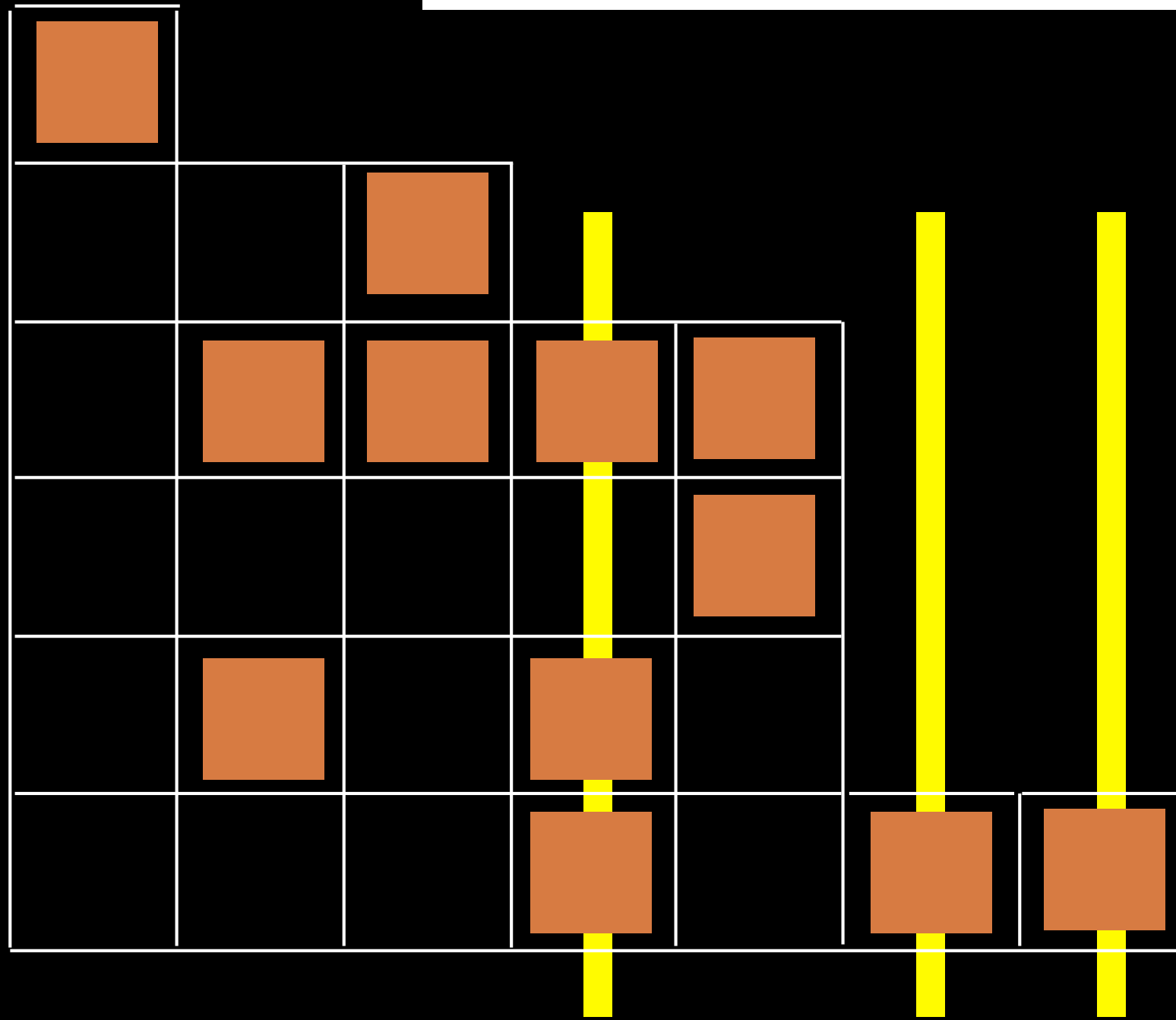


inverse bijection  $\psi = \varphi^{-1}$

(i) mark the columns with  
a 1 in the first row

# permutation tableau

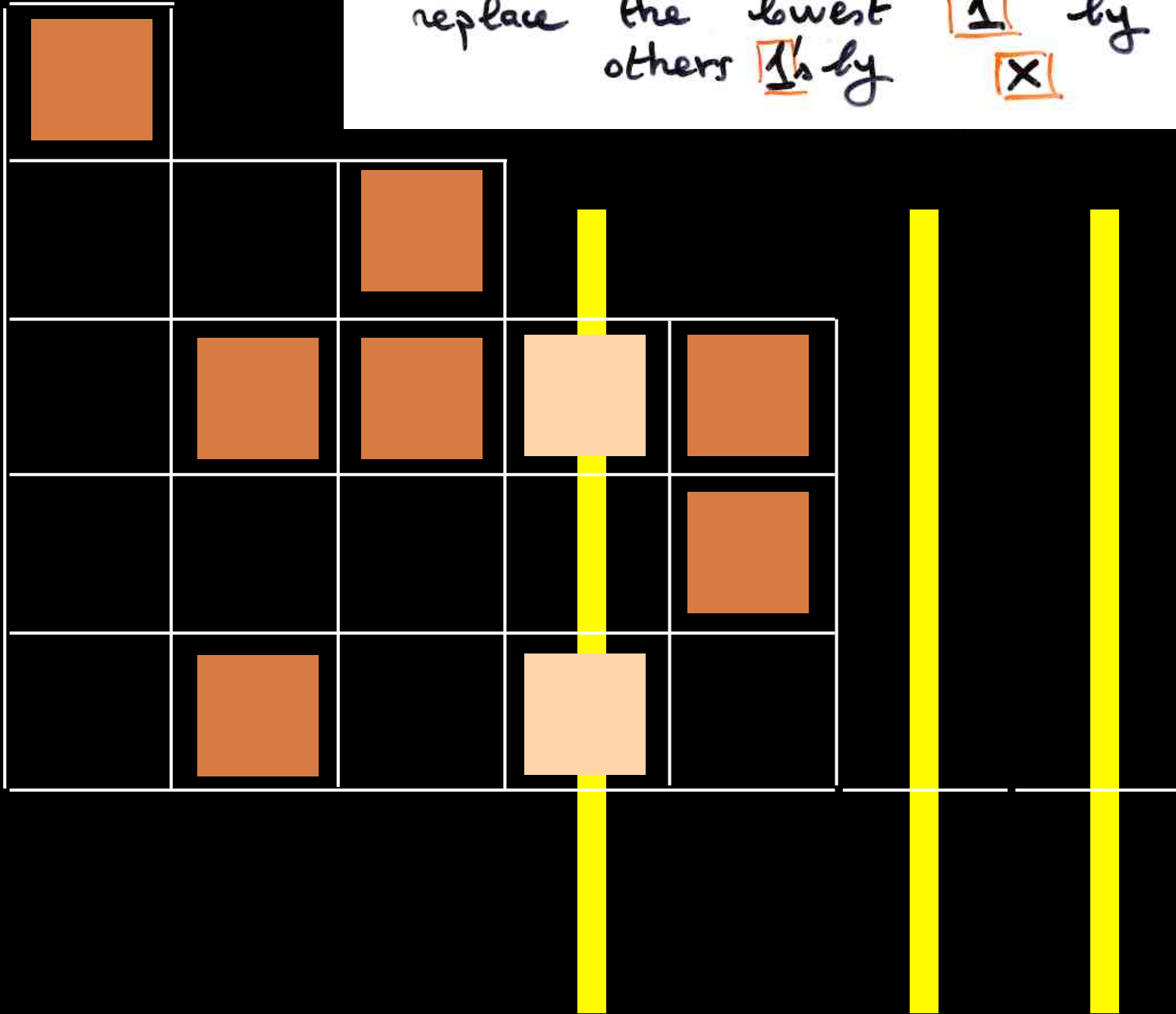
(ii) delete the first row



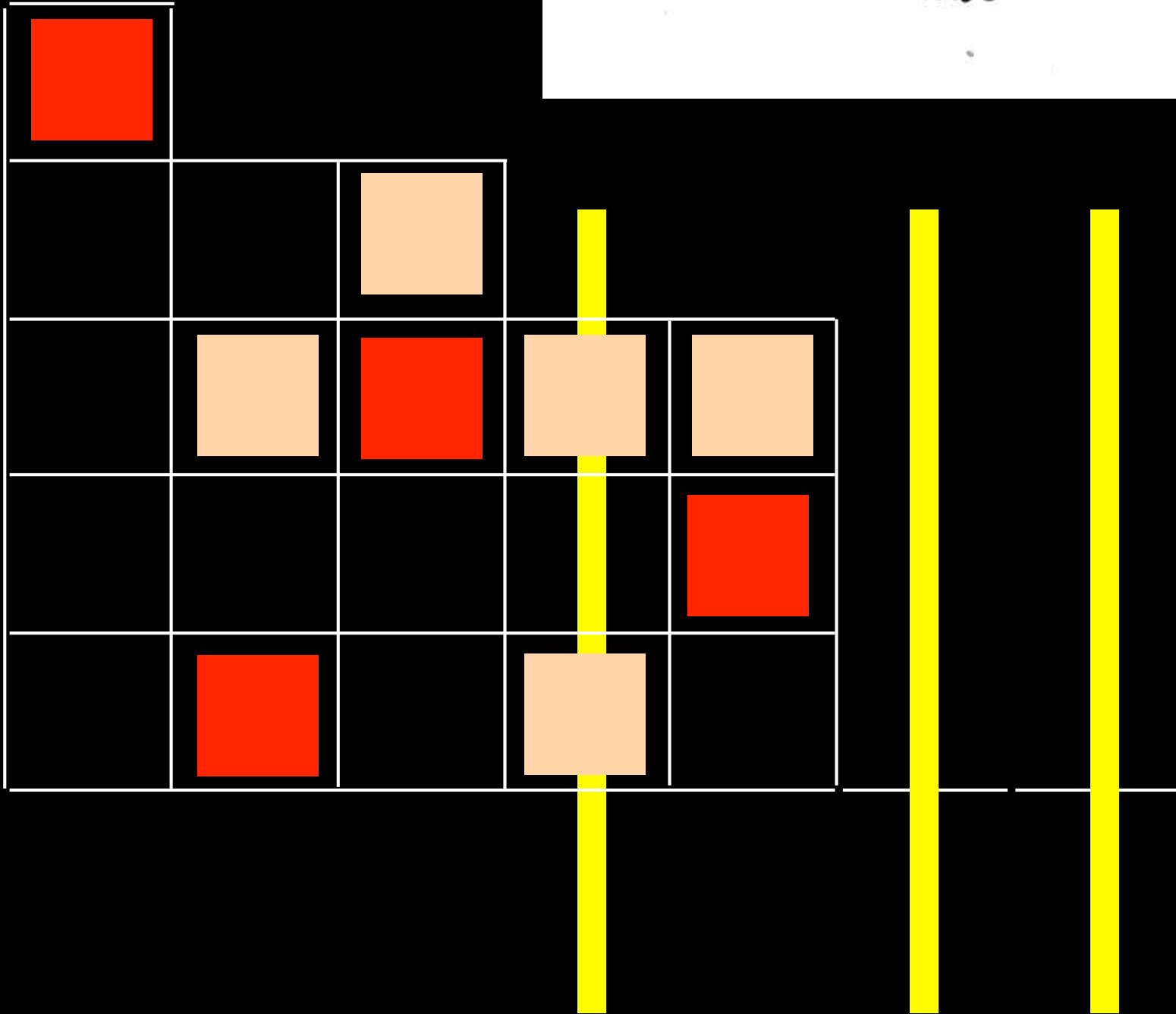
(iii) in each marked column

A 4x5 grid of squares on a black background. The squares are colored orange or yellow. A vertical yellow line is at x=5. A horizontal white line is at y=1. Orange squares are at (1,1), (2,2), (2,3), (3,2), (3,3), (4,1), and (4,2). Yellow squares are at (2,1), (3,1), (4,4), and (4,5).

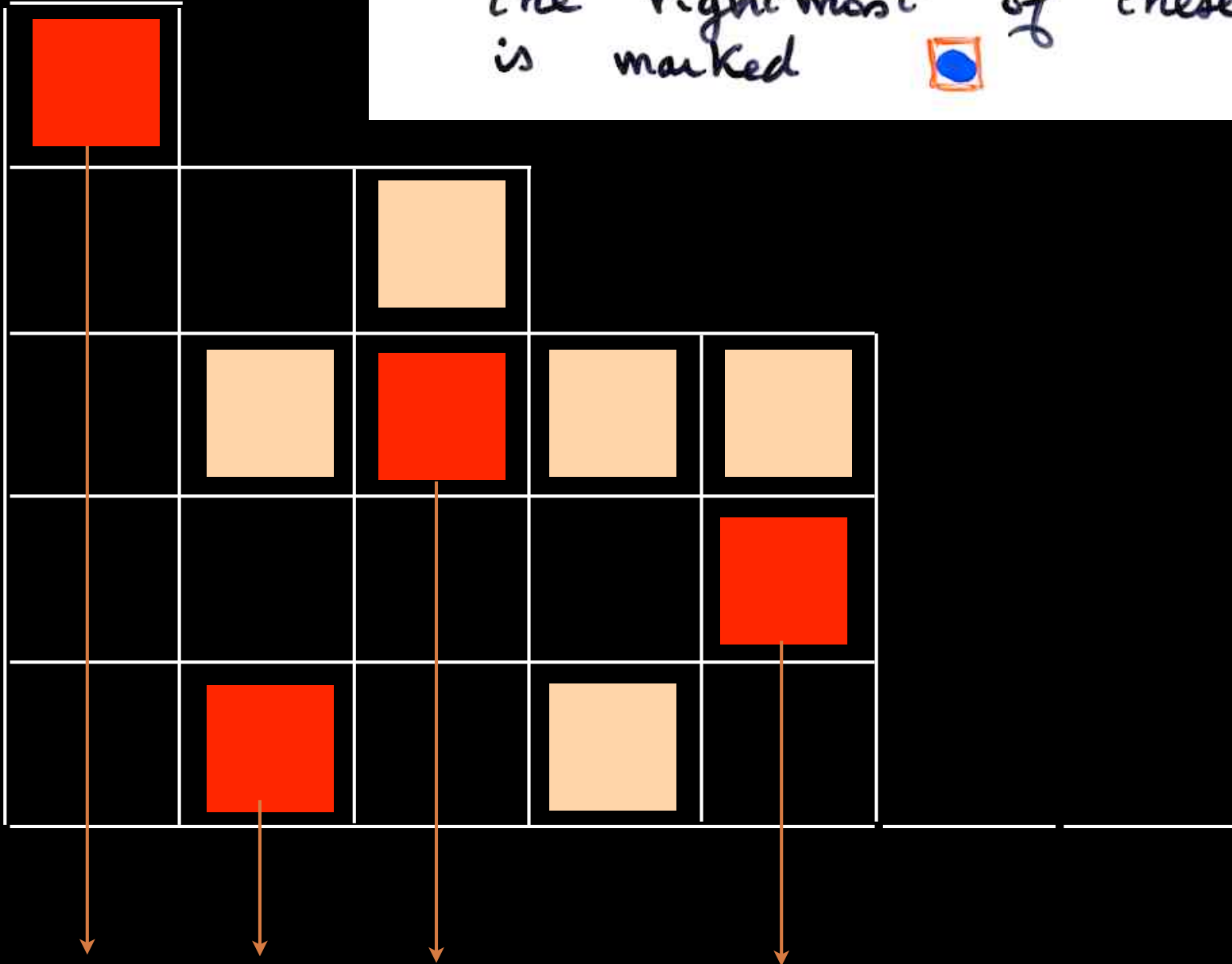
(iv) in each non marked column  
( $\exists$  some cells with 1)  
replace the lowest  
others 1's by   

(v) mark the cells  
below a red

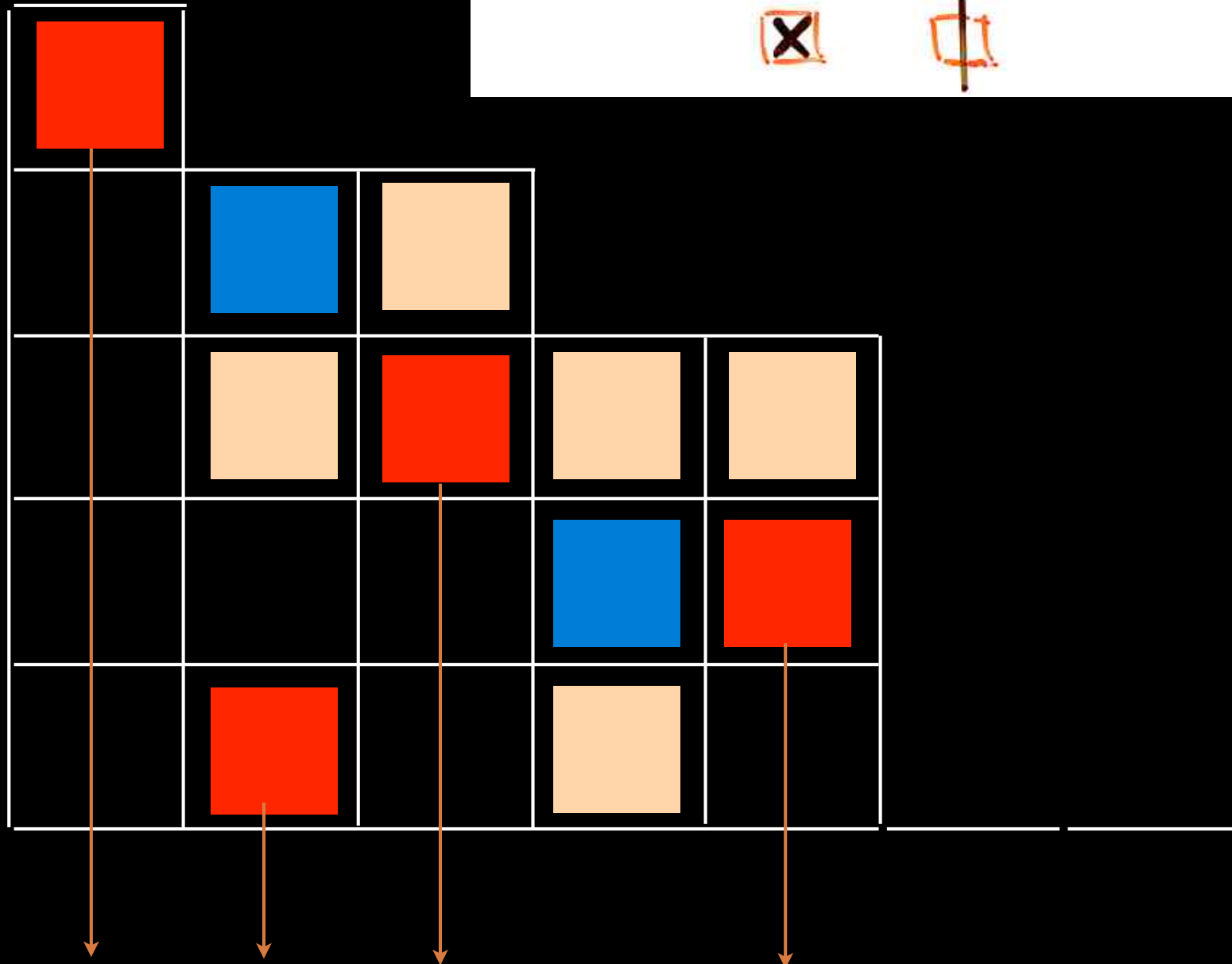


(vi) in each rows where there exist empty cells, the rightmost of these cells is marked



(vii)

delete the marks



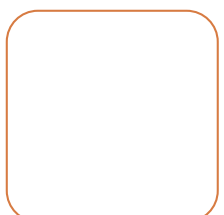
## alternative tableau


A 5x5 grid with colored squares at specific intersections. The grid has white borders between cells. The colored cells are:

- Top row, first column: Red square.
- Second row, second column: Blue square.
- Third row, third column: Red square.
- Fourth row, fourth column: Blue square.
- Fifth row, fifth column: Red square.
- Fourth column, first through fourth rows: Empty cells.
- First column, second through fifth rows: Empty cells.

check

- $\psi(\text{PT})$  is an alternative tableau
- $\psi = \varphi^{-1}$



notations.  $T$  tableau de permutations

- $\text{wt}(T) = (\text{nb total de } 1) - (\text{nb de colonnes})$
- $f(T) = (\text{nb de } 1 \text{ sur la 1<sup>ère</sup> ligne})$
- $u(T) = (\text{nb de lignes non restreintes})$

Def- ligne **restreinte** : si elle a une case **restreinte**, c.à.d une case contenant un 0 et située au dessus d'un 1.

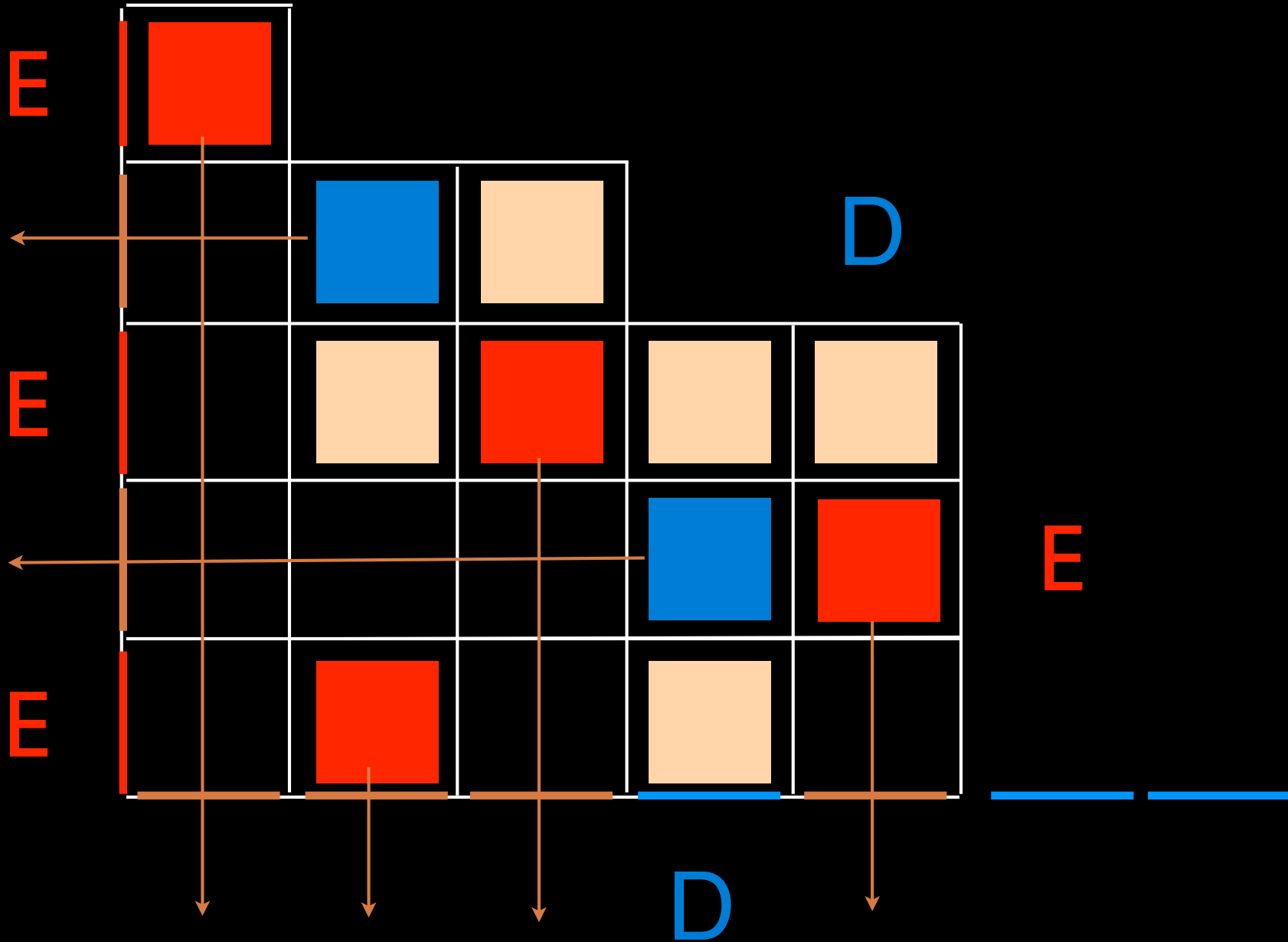
Cor. La probabilité stationnaire associée à l'état  $\tau = (\tau_1, \dots, \tau_n)$  (**PASEP**)

est

$$\frac{P(\tau)}{\alpha} = \sum_{\substack{T \\ \text{tableau de permutation}}} q^{\text{wt}(T)} \alpha^{-f(T)} \beta^{-u(T)}$$

tableau de permutation  
forme F associé à  $\tau$

S. Corteel, L. Williams  
(2007) (2008) (2009)



orthogonal polynomials


 Orthogonal polynomials  
 Sasamoto (1999)  
 Blythe, Evans, Colaiori, Eosler (2000)

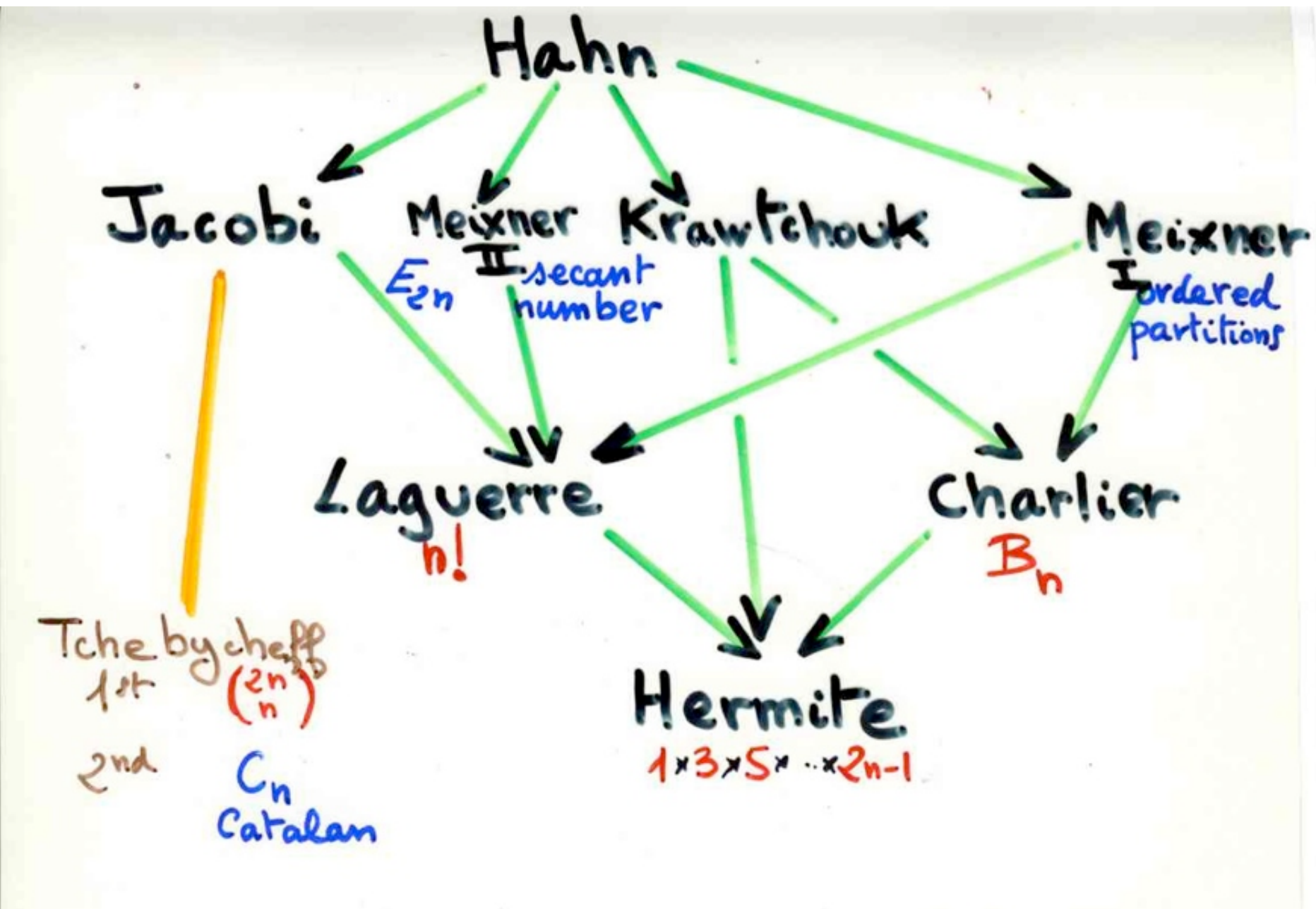
$\alpha, \beta, q$        $\gamma = \delta = 1$   
 q-Hermite polynomial

$$\begin{aligned}
 D &= \frac{1}{1-q} + \frac{1}{\sqrt{1-q}} \hat{a} \\
 E &= \frac{1}{1-q} + \frac{1}{\sqrt{1-q}} \hat{a}^+ \\
 \hat{a} \hat{a}^+ - q \hat{a}^+ \hat{a} &= 1
 \end{aligned}$$


 Uchiyama, Sasamoto, Wadati (2003)  
 $\alpha, \beta, \gamma, \delta, q$

Askey-Wilson polynomials

# Askey-Wilson



# references

# references:

*xgv website :*

<http://www.labri.fr/perso/viennot/>

Recherche, cv, publications, exposés, diaporamas, livres, petite école, photos: voir ma page personnelle [ici](#)  
Vulgarisation scientifique voir la page de l'association [Cont'Science](#)

downloadable papers, slides and lecture notes, etc ... here  
(the summary on page “recherches” and most slides are in english)



→ **page “video”**

[“Alternative tableaux, permutations and asymmetric exclusion process”](#)  
conference 23 April 2008,  
Isaac Newton Institute for Mathematical science

or <http://www.newton.cam.ac.uk/> (page “web seminar”)

## **more references:**

O. Angel, The stationary measure of a 2-type totally asymmetric exclusion process, J. Combin. Theory A, 113 (2006) 625-635, arXiv:math.PR/0501005

J.C. Aval and X.G. Viennot, Loday-Ronco Hopf algebra of binary trees and Catalan permutation tableaux, in preparation.

P. Blasiak, A.Horzela, K.A. Penson, A.I. Solomon and G.H.E. Duchamp, Combinatorics and Boson normal ordering: A gentle introduction, arXiv: quant-ph/0704.3116.

R.A. Blythe, M.R. Evans, F. Colaiori, F.H.L. Essler, Exact solution of a partially asymmetric exclusion model using a deformed oscillator algebra, J.Phys.A: math.Gen. 33 (2000) 2313-2332, arXiv:cond-mat/9910242.

R. Brak and J.W. Essam, Asymmetric exclusion model and weighted lattice paths, J. Phys.A: Math Gen., 37 (2004) 4183-4217.

A. Burstein, On some properties of permutation tableaux, PP'06, June 2006, Reykjavik, Iceland.

S. Corteel, A simple bijection between permutations tableaux and permutations, arXiv: math/0609700

S. Corteel and Nadeau, Bijections for permutation tableaux, Europ. J. of Combinatorics, 2007

S. Corteel, R. Brak, A. Rechnitzer and J. Essam, A combinatorial derivation of the PASEP stationary state, FPSAC'05, Taormina, 2005.

S. Corteel and L.K Williams, A Markov chain on permutations which projects to the PASEP. Int. Math. Res. Not. (2007) article ID rnm055, arXiv:math/0609188

S. Corteel and L.K. Williams, Tableaux combinatorics for the asymmetric exclusion process, Adv in Appl Maths, to appear, arXiv:math/0602109

B. Derrida, M.R. Evans, V. Hakim and V. Pasquier, Exact solution of a one dimensional aysmmetric exclusion model using a matrix formulation, J. Phys. A: Math., 26 (1993) 1493-1517.

B. Derrida, An exactly soluble non-equilibrium system: the asymmetric simple exclusion process, Physics Reports 301 (1998) 65-83, Proc. of the 1997-Altenberg Summer School on Fundamental problems in statistical mechanics.

B. Derrida, Matrix ansatz and large deviations of the density in exclusion process, invited conference, Proceedings of the International Congress of Mathematicians, Madrid, 2006.

E. Duchi and G. Schaeffer, A combinatorial approach to jumping particles, J. Combinatorial Th. A, 110 (2005) 1-29.

S. Fomin, Duality of graded graphs, J. of Algebraic Combinatorics 3 (1994) 357-404

S. Fomin, Schensted algorithms for dual graded graphs, J. of Algebraic Combinatorics 4 (1995) 5-45

J. Françon and X.G.Viennot Permutations selon les pics, creux, doubles montées et doubles descentes, nombres d'Euler et nombres de Genocchi, Discrete Maths., 28 (1979) 21-35.

O.Golinelli, K.Mallick, Family of commuting operators for the totally asymmetric exclusion process, J.Phys.A:Math.Theor. 40 (2007) 5795-5812, arXiv: cond-mat/0612351

O.Golinelli, K.Mallick, The asymmetric simple exclusion process: an integrable model for non-equilibrium statistical mechanics, J. Phys.A: Math.Gen. 39 (2006), arXiv:cond-mat/0611701

M. Josuat-Vergès, Rook placements in Young diagrams, this SLC 61

J.C. Novelli, J.Y.Thibon and L.Williams, Combinatorial Hopf algebras, noncommutative Hall-Littlewood functions ans permutations, arXiv:0804.0995

A. Postnikov, Total positivity, Grassmannians, and networks, arXiv: math.CO/0609764.

T. Sasamoto, One-dimensional partially asymmetric simple exclusion process with open boundaries: orthogonal polynomials approach., J. Phys. A: math. gen. 32 (1999) 7109-7131

L.W. Shapiro and D. Zeilberger, A Markov chain occurring in enzyme kinetics, J. Math. Biology, 15 (1982) 351-357.

E.Steingrimsson and L. Williams Permutation tableaux and permutation patterns, J. Combinatorial Th. A., 114 (2007) 211-234. arXiv:math.CO/0507149

M.Uchiyama, T.Sassamoto, M.Wadati, Asymmetric simple exclusion process with open boundaries and Askey-Wilson polynomials, J. PhysA:Math.Gen.37 (2004) 4985-5002, arXiv: cond-math/0312457

X.G.Viennot, Alternative tableaux, permutations and partially asymmetric exclusion process, in preparation

X.G.Viennot, Catalan tableaux and the asymmetric exclusion process, in Proc. FPSAC'07 (Formal Power Series and Algebraic Combinatorics), Tienjin, Chine, 2007, 12 pp.

<http://www.fpsac.cn/PDF-Proceedings/Talks/87.pdf>

## **More recent references**

R.A. Blythe, M.R. Evans, Nonequilibrium steady states of matrix product form: a solver's guide, arXiv: 0706.1678 [cond-mat.stat.mec] (127 pages)

R.A. Blythe, W. Janke, D.A. Johnson and R.Kenna, Continued fractions and the partially asymmetric exclusion process, arXiv 0904.3947 [cond-mat.stat.mec]

S. Corteel, M.Josuat-Vergès, T. Prellberg and M. Rubey, Matrix Ansatz, lattice path and rook placement, arXiv: 0811.4606 [math.CO]

S. Corteel and L.K. Williams, Tableaux combinatorics for the asymmetric exclusion process and the Askey-Wilson polynomials, arXiv:0910.1858 [math.CO]

S. Corteel, M.Josuat-Vergès and L.K Williams, The matrix Ansatz, orthogonal polynomials and permutations, arXiv: 1005.2696 [math.CO]

S. Corteel, R. Stanley, D.Stanton and L.K. Williams, Formuale for Askey-Wilson moments and enumeration of staircase tableaux, arXiv: 1007.5174 [math.CO]

M. Josuat-Vergès, Rook placements in Young diagrams and permutation enumeration, arXiv: 0811.0524 [math.CO]

M. Josuat-Vergès, Combinatorics of the three-parameters PASEP partition function, 0912.1279 [math.CO]

M. Josuat-Vergès, Generalized Dumont-Foata polynomials and alternative tableaux, SLC (Séminaire Lotharingien de Combinatoire), B64b

M. Josuat-Vergès, Enumération de tableaux et de chemins, moments de polynômes orthogonaux, thèse Université Paris Sud, Orsay, 25 janvier 2010. (126 pages)

P. Nadeau, The structure of alternative tableaux, arXiv: 0908.4050 [math.CO]

The PASEP

The Matrix Ansatz

The PASEP algebra

alternative tableaux

stationary probabilities for the PASEP

permutation tableaux

orthogonal polynomials

references